

REVUE BIMESTRIELLE

LA TECHNIQUE DES TRAVAUX



Immeubles d'habitation
à Molsheim les Aveny

M AI - JUIN 1967

Des études spéciales sur les spécifications des sables à béton et ballast confirment une fois de plus l'importance qui s'attache à la séparation granulométrique et à la pureté des aggrégats.

EXPLOITANTS DE SABLES, VALORISEZ VOS PRODUITS

en utilisant les procédés de traitement



Lavage parfait du sable par turbulence rigoureuse.

Séparation et évacuation complètes des argiles et des calcaires pulvérisés.

Récupération totale à la granulométrie exigée.

Assèchement poussé permettant le stockage en tas ou en trains.

L'organisation mondiale Linatex a étudié et mis au point, pour vous, l'équipement idéal, d'une efficacité intégrale, augmentant la rentabilité de votre exploitation et contribuant à la valorisation de votre production.

Les plus grandes entreprises vous ont fait confiance. Des milliers d'installations ont été réalisées dans le monde entier et peuvent être visitées. Elles se composent :

- d'une bêche continue,
- d'une pompe centrifuge avec commande,
- d'un cribleur sélecteur-éjecteur,
- des conduits et accessoires,
- d'un train d'épandage poussé.

Cet équipement est peu encombrant et s'installe aisément dans toute exploitation.

Les appareils de construction Linatex sont spécialement étudiés pour travailler sans maintenance et nécessitent peu d'intervention. Ils sont combinés avec un traitement de protection en

CAOUTCHOUC SPÉCIAL LINATEX

car lequel l'action abrasive du sable est sans effet ! Garantie totale.

BELGIQUE

Anti-Abrasion Linatex s.a.

42-50, avenue Zénobe Gramme, Bruxelles 3

Tél. : (02) 16.80.83

FRANCE

Anti-Abrasion Linatex s.a.r.l.

Ateliers : 197b, route Nationale, Orvaing (Nord)

Tél. : 87

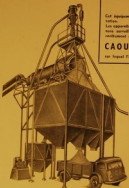
Déposé à Paris : 63, rue des Bouchers

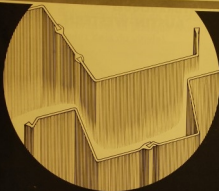
Rueil-Malmaison (Seine-et-Oise) - Tél. : 967.15.25

HOLLANDE

Linatex-Nederland n.v.

Haagstraat 39, Rotterdam 1 - Tél. : (010) 12.00.02





●● PALPLANCHES ●●

MINIERE ET METALLURGIQUE DE RODANGE

grand duché de luxembourg

Agent :



MMR

LUXMETAL

172, rue Royale
Bruxelles - Tél. 19.13.27



Assemblage
palplanches "J"



Assemblage
palplanches
"S" à grilles

GRUES HYDRAULIQUES

AUSTIN-WESTERN 5 à 12 tonnes



AUSTIN-WESTERN...

- 38 ans d'expérience
- des milliers de machines dans le monde
- 122 grans en Belgique
- 70 en République du Congo

— Service après-vente rapide et pièces de rechange toujours à votre disposition

- Traction et direction sur les 4 roues
- Moteur Diesel
- Convertisseur de couple
- Toutes commandes hydrauliques
- Niche télescopique

BALDWIN · LIMA · HAMILTON



Construction Equipment Division, Austin-Western Plant, Aurora, IL, U.S.A.

Distributeur exclusif pour la Belgique, le Grand-Duché de Luxembourg et la République du Congo

BUREAU TECHNIQUE

BIA

47-49, avenue E. de Bavi, BRUXELLES 5 — Tél. : 48.16.24 — 47.37.82

Une nouvelle dalle Krommenie.
Splendide (de par sa structure
décorative). Et pratique (vous le
saviez déjà du vinyle).

3



12 dalles formats 20 x 20 et 30 x 30 cm

Coloflor - serie 1300

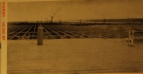
Un couvre-sol luxueux qui donne - de par sa structure décorative et son lustre discret - une note personnelle à toute habitation. En outre sa place est indiquée dans les boutiques, grands magasins, hôpitaux, bureaux, théâtres et salles d'exposition. Le surface du COLOFLO est imperméable (pas d'entretien), pratiquement inusable et antidérapante. Cette nouvelle dalle de Krommenie trouve sa place dans tout habitat.



Couvre-sols Krommenie

Renseignements et commandes - Couvre-Sols Krommenie, 122 rue du Commerce, Bruxelles 4

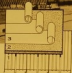
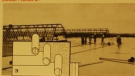
COUVERTURE **COUVRACIER**



BOBRIAT - 100.000 M²

BOBRIAT - 100.000 M²

BOBRIAT - 100.000 M²



1. support en tôle d'acier galvanisé et profilé
2. isolation thermique
3. étanchéité par procédé multicouche

L'ESPRESSO

LA TOITURE INDUSTRIELLE MODERNE, LÉGÈRE, RÉSISTANTE, ISOTHERME ET ÉTANCHE
MISE EN ŒUVRE PAR L'ENTREPRISE SPÉCIALISÉE

ASPHALTCO

COMPAGNIE GÉNÉRALE DES ASPHALTES
BOULEVARD DE LA LIBÉRATION - 1050 BRUXELLES - BELGIUM
1, A. Maurice de Moor, Bruxelles, Tél. 02/26.48.14

CONCESSIONNAIRE EXCLUSIF POUR LA BELGIQUE ET LE GRAND-DUCHÉ DE LUXEMBOURG
DOCUMENTATION DÉTAILLÉE SUR SIMPLE DEMANDE ÉCRITE



**Dans la catégorie des Scrapers de
10,7m³ (capacité à ras),
le meilleur rendement est obtenu par**



Le nouveau Cat 621

10,7 m³ à ras et 15,3 m³ à refus, telles sont les capacités de ce nouveau matériel, mais ces chiffres ne donnent qu'un faible aperçu de toutes ses possibilités.

Le Caterpillar 621 est rapide: sur un chantier de l'Entreprise Goodchild, dans l'Ohio, un 621 utilisé pour les remblais d'une autoroute a dépassé de plus de 12% le rendement d'un motoneoprat de même capacité mais équipé de deux moteurs en tandem et ceci, avec une économie de 31% par m³.

Dans la même État, le 621 de l'Entreprise Mullin a produit 25% de plus que des 619 pour un prix de revient au m³ de 15% inférieur.

A quel tient la remarquable productivité du 621:

Excellent rapport Poids/Puissance

Le Caterpillar 621 est équipé d'un nouveau moteur "CAT" de 300 CV bénéficiant d'un rapport Poids/Puissance de 151 KG/CV. Le plupart des engins à deux moteurs de capacité identique (proposés sur le marché) ont généralement un rapport Poids/Puissance de l'ordre de 176 KG/CV. Le meilleur rapport du 621 lui permet de garder une bonne vitesse dans les conditions les plus difficiles.

Vitesses maxima soutenues en km/h * (en charge)

Résistance totale	621	D6D10	Autre marque A	Autre marque B
40,0 kg/tonne	47,0	36,2	33,8	30,4
80,0 kg/tonne	19,2	16,2	14,1	12,7
120,0 kg/tonne	14,1	13,2	11,3	11,3
160,0 kg/tonne	10,6	8,4	8,4	8,7

* Données fournies par les fiches techniques les plus récentes.

Nouvelle transmission "Powershift" Caterpillar

Rendement maximum constant, grâce à la nouvelle servo-transmission "Powershift" à 8 vitesses qui offre à l'opérateur la possibilité de choisir le régime le mieux adapté aux caractéristiques du parcours.

De 0 à 40 km/h, tous les rapports sont en prise directe, assurant une accélération rapide à pleine charge. Les deux premiers rapports comme la marche



arrière utilisant le convertisseur de couple permettant un plus grand effort à la jante et évitant tout risque de calage en cours de chargement.

Chargement accéléré—charges accrues

Dans sa catégorie, le motoneoprat Caterpillar 621 offre la benne la plus large (plus de 3 m de large), et la plus forte charge admissible (21.773 kg). Il est doté des mêmes perfectionnements que les motoneoprats de la série des 600. Ses commandes à "actions positives" autorisent une économie de puissance de l'ordre de 20%. Des temps de chargement pris au chronomètre sur un chantier de débâchage de matériaux ont prouvé que le chargement en poussée de 12 m³ de talus pouvait être effectué en 0,8 minute.

Pour augmenter la charge transportée et améliorer la performance sur terrain détrempé il est possible de monter des pneumatiques de 29,5 x 29 (23 pli ou 28 pli) en option. Les pneumatiques standard ont une dimension de 26,5 x 29 (24 pli).

Commande 100% hydraulique

Le système hydraulique Caterpillar qui a fait ses preuves sur les plus gros modèles de la série 600, est maintenant monté en série sur le 621. Bennes, tables, cylindre sont commandés par des vannes hydrauliques à double effet offrant puissance à répétition et précision de manœuvres.

La benne du 621 permet de mesurer la profondeur de coupe avec une grande précision et applique une pression de 12,7 tonnes sur la lame de coupe. Un tel engin permet d'augmenter sensiblement la productivité et de réduire dans la même proportion, le prix de m³.



Le J621, le scraper élévateur qui diminue le prix de revient des travaux courants.

Les motoscrapers travaillant en poussée sont souvent d'un prix de revient trop élevé pour l'exécution des petits travaux comme le terrassement des déblais ou la finition et le nettoyage de chantiers. Cette constatation ressort d'études faites sur plusieurs chantiers.

Le scraper élévateur Johnson J621, diffusé par le réseau de vente Caterpillar, permet un travail rapide et économique pour l'exécution des chantiers de VPD. Les motoscrapers conventionnels peuvent ainsi être concentrés sur des chantiers spécialisés. Celui à son moteur de 300 CV et son fonctionnement entièrement hydraulique le motoscaper élévateur J621 est suffisamment et l'aide d'un bâteur-poussoir n'est pas nécessaire. Même le sable, le gravier ou le charbon se chargent sans aucune aide extérieure jusqu'à la capacité à refus du J621, soit 16,5 m³.

Votre concessionnaire Caterpillar se fera un plaisir de répondre à toutes les questions que vous souhaitez poser sur le J621. Un stock de pièces de rechange bien approvisionné ainsi qu'un personnel qualifié lui permettant d'assurer un rendement maximum à votre investissement en matériel Caterpillar.



Une ouverture de 1470mm permet l'éjection complète des matériaux les plus collants. La lame de coupe se retourne en même temps que le fond de la benne, servant ainsi de rateau.

CATERPILLAR

Service et Co. est le réseau européen de Caterpillar Tractor Co.



TRECO
TRACTOR & EQUIPMENT COMPANY S.A.

QUALITÉ - SERVICE

100 ch. de Bruxelles, OVERLISE
1051 / 99787.75.10
Adresse télég. TRECOSA BRUXELLES



**tous les roulements
sont ronds**

mais...

SKF

vous offre une
triple économie

- ECONOMIE** de pièces de rechange.
- ECONOMIE** de main d'œuvre: démontage et remontage.
- ECONOMIE** de temps d'arrêt des machines.

grâce à sa
**très longue
durée de vie**
due à la
qualité exceptionnelle
de ses aciers

..le plus vendu dans le monde..

Ateliers Désiré NOSSENT

S. A. R. L.

Forges & Estampage

Ans - Liège

Tel. : 62 40 19



Tous les aciers spéciaux

• Pièces forgées jusqu'à 600 kg

• Pièces estampées jusqu'à 25 kg

• Couronnes laminées ou forgées jusqu'à 2 m Ø

• Réparations de matériel et travaux d'entreprises

S. A. CHAUDRONNERIES

DÔME FRÈRES & C^e

Rue Ernest Solvay - JEMEPPE-SUR-MEUSE

GROSSE ET MOYENNE CHAUDRONNERIE
EN ACIER ET ACIER INOXYDABLE

ÉCHANGEURS TUBULAIRES

TOUTS APPAREILS SOUDÉS OU RIVÉS
SANS PRESSION OU À PRESSION :
CHAUDIÈRES
RÉSERVOIRS À AIR COMPRIMÉ
TUYAUTERIES, ETC.

Pour tous vos besoins de

cables en acier

de fabrication anglaise

B. R. CONTINENTAL

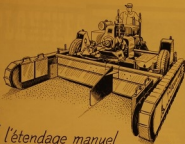
S. A.

représentants pour la Belgique de la
BRITISH ROPES LTD,
DONCASTER (Angleterre)

BUREAUX, ATELIERS ET DÉPÔT
82, RUE DE NAPLES
ANVERS

TEL. (03) 81.64.97 - 81.65.61
Telex : 62.3409





FINI,
*l'étendage manuel
 des enrobés pour route !*

Autres
 spécialités
 " **AMMANN** "

Plants à béton asphaltique de toutes capacités

Postes d'enrobage fixes

Rouleaux compresseurs Diesel

Gravillonneurs

Casseurs

Chasse-neige - Sablonneux

Tout le matériel pour routes noires et rien que du matériel de première qualité

Vente et service après vente assurés par S.G.M.S.

Jusqu'à présent, seuls les grands travaux de route noire justifiaient l'emploi d'une linseuse. Grâce à la linseuse AMMANN, vous disposez dès maintenant d'une machine perfectionnée, maniable, d'un prix abordable, pour répandre et niveler les enrobés, pour tous vos travaux.

Des caractéristiques intéressantes

La linseuse AMMANN place 300 m³ par heure d'enrobés. Elle travaille sur toute largeur jusqu'à 2m50. Elle se met sur chenilles pour le travail et se place en quelques instants sur roues à pneus pour le déplacement. Réglage indépendant des chenilles en hauteur - réglage du profil - épaisseur variable du tapis, en un mot les principales caractéristiques de la grosse linseuse à un prix qui vous étonnera.

Demandez une offre

Pour placement juger des capacités données de cette machine, demandez-nous une offre détaillée. Elle vous sera envoyée sans engagement aucun. Ecrivez-nous aujourd'hui même.

Société Générale de Matériel d'Entrepreneurs, S. A.

99, rue de Valenciennes — Bruxelles
 27, rue de l'Écluse — Anvers

Téléphones : Bruxelles 24.62.96 - 25.06.84
 Anvers 23.43.99 - 23.43.99

Reg. Comm. Anvers | 1212



quelle est la meilleure référence?

1982

Celle que vous choisissez de vos propres yeux. Et d'autres mots, celle des nombreux avantages que vous obtenez les compresseurs ATLAS COPCO. Avec les avantages particuliers sur tous les chantiers de Belgique, ce'ils sont grands ou petits. Par exemple, ils vous font le dimensionnement conforme de tous performances et de leur flexibilité. Leur succès s'explique largement de leur haute qualité: vous êtes donc parfaitement raison de faire appel à des ingénieurs et techniciens spécialisés dans le domaine de l'air comprimé lors de vos besoins en matériel. Faire confiance à ATLAS COPCO, c'est faire confiance à la première organisation mondiale spécialisée exclusivement dans l'air comprimé et à ses techniques d'application. Soyez vous-même à visiter notre usine de Willebrouck, la plus moderne et la mieux équipée au monde, et vous constaterez par vous-même les soins minutieux qui président à la fabrication de notre matériel. Vous faites un placement sûr en achetant un matériel ATLAS COPCO maintenant éprouvé et sûr d'un service après-vente sérieux et rapide. Les expériences heureuses peuvent coûter cher... Mais en toute sécurité, choisissez ATLAS COPCO!

Programme de fabrication

- Compresseurs mobiles et stationnaires • matériel de mines et carrières • outils pneumatiques pour l'industrie et l'entreprise
- matériel et pièces de rechange • installations de séchage.



Atlas Copco

ATLAS COPCO BELGIUM S.A.
261, Chaussée de Bruxelles - Courtois
7, 2037-76-22 (24 h)
Agences Régionales: Antwerpen,
Charleroi, Gand, Namur, Liège,
Luxembourg.

Spécialistes de l'Air Comprimé

1982

Entretien et réparation de matériel de travaux et d'entreprises

PARACHÈVEMENT DE PIÈCES GROSSES
ET MOYENNES SUIVANT PLANS,
MODÈLES OU INDICATIONS

BOURSES AXIALES, PROFONDES, CENTRÉS
OU NON, DANS TOUTES SECTIONS
ALLANT JUSQU'À 400 MM DE DIA-
MÈTRE ET 6 MÈTRES DE LONGUEUR

S. A.

Les Forges de Zeebrugge

117140, RUE BELLEBAR

HISTEL - LIÈGE

Tel.: (04) 84.09.00 (8 lignes)

TOUTES LES

BOIS ET MATÉRIAUX DE CONSTRUCTION

LE SPÉCIALISTE DU BOIS DE COFFRAGE

MAISON

DOSSIN-LENOIR

51, RUE DE JUPILLE

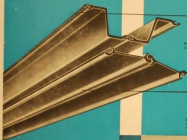
VISÉ

TÉLÉPHONE(S)

79.19.07 - 79.19.28

PALPLANCHES

ARBED-BELVAL

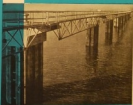


PALPLANCHES BELVAL 2
Coudes, surface de joint
& nervure alésée.



PALPLANCHES P
Coudes, nervure & la surface
pour constructions isolées.

Ducs d'Albe
dans le gâchet d'accès
à l'écluse Baudouin
à Anvers



Comptoir Minéralurgique Luxembourgeois S.A., Luxembourg

COLUMETA

Pour la Belgique et le Congo

LA BELGO-LUXEMBOURGEOISE S.A.

79, rue de Trèves - BRUXELLES - Tél. 53.29.95

Revue n. 2/1958

Reico-Bremsit

Garnitures pour frein et embrayage

offre aux constructeurs de MACHINES À BATTRE
MACHINES D'EXTRACTION
GRUES, TRIVALS,

... sa qualité d'embrayage n° 2.000
ses bandes de frein - qualité H et S

aux possesseurs de POIDS LOURDS
CAMIONS
REMORQUES

... sa nouvelle qualité 8.100 vraiment
sensationnelle

Forte imperméabilité à l'eau
à la graisse et à l'huile
Coefficient de friction élevé et stable
Résistance thermique élevée
Sécurité pour profilés et roulements

E^m DEHARET 11, rue BODIGNÉ, SEVRES — TÉLÉPHONE 11.17.86

PROGRAMME DE FABRICATION

MÉCANIQUE GÉNÉRALE

CHAUDRONNERIE

FONDERIE

TURBINES À VAPEUR (TYPE MEUSE ET SAZANG)

TURBINES HYDRAULIQUES (LICENCE CHATELLEAU)

TURBINES À GAZ (LICENCE BRISTOL-GODDARD)

REPIÈCES DE MINÉRIE DE MÉTALLURGIE

MACHINES POUR LE TRAVAIL DE LA TOUE

MACHINES POUR LA FABRICATION DE TUBES EN TIRAGE

MATERIEL POUR INDUSTRIE CHIMIQUE ET PÉTROLIÈRE

BROYEURS (LICENCE HARDINGE)

MATERIEL DE GLACIÈRES (TYPE SAHRE)

MOTEURS DIESEL MEUSE

MOTEURS ESSENCE - L.P.G. - DIESEL (LICENCE CONTINENTAL)

ÉNERGIE NUCLEAIRE

ARMEMENT



SOCIÉTÉ ANONYME DES
ATELIERS DE CONSTRUCTION DE

LA MEUSE

Severin-Ligny - Tél. (04) 62 00 20 - Télex. (04) 262

A photograph of an outdoor lounge area. In the background, a light-colored wicker bench with a curved backrest is adorned with two green square cushions and a red and white patterned cushion. A bright red ottoman sits on the floor in front of the bench. To the right, a small table holds several bottles of drinks and glasses. The floor is covered in a mosaic of light-colored tiles with dark, leaf-like patterns. A white rectangular box with text is overlaid on the lower-left portion of the image.

...ici aussi,
le raffinement
moderne et pratique
de la mosaïque de marbre
Marlux

Marlux : 72 mosaïques de marbre différentes

Pour produire ses dalles et mosaïques de marbre, Lambers-Hemans choisit pour tout les plus beaux marbres d'Italie, de Grèce et du monde entier.

La grande variété des dessins (veines, flammes, galets, décors incrustés), celle des coloris et celle des formats (20 x 20 - 30 x 30 - 40 x 40), permettent de trouver toujours l'accord juste avec le type de construction : pavillon moderne, maison rustique, ou building, habitation privée ou bâtiment public.



contrôle scientifique de la production



La fabrication utilise des procédés d'avant-garde, exclusifs à Marlux.

Entièrement automatisées, les opérations suivent un rythme accéléré. Depuis le classement des marbres jusqu'à l'emballage individuel de chaque dalle, c'est grâce à une parfaite coordination de la production que le marbre, matériau prestigieux, peut être offert aujourd'hui à des prix si courts.

Renseignez-vous.

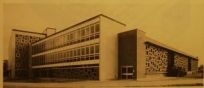
stabilité dimensionnelle - résistance - pigmentation xenotest

Les normes de fabrication les plus sévères en vigueur en Europe sont largement dépassées par les dalles Marlux. Elles résistent à la pression, aux chocs, aux rayures, aux éclats, et présentent la plus grande stabilité dimensionnelle. La face est parfaitement lisse et plate, les côtés sont soignés et bien équilibrés.



Aux qualités luxueuses de marbre, un revêtement Marlux ajoute tous les avantages du meilleur ciment Portland teinté. Les pigments sont conformes aux exigences de l'appareil Xenotest, recommandé par l'Organisation Internationale de la Standardisation.

Application de nos « claustras » vitrés,
portants de 300 et 400 mm de profondeur.
Béton décoratif lavé



S.A. CIMARME

74, AVENUE HUYSMANS, LOT

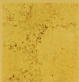
Directeur commercial : J. BELLEMANS
Directeur technique : A. DEROCK

TELEPHONE : 02/18.71.31 - 58.78.48

architectes, entrepreneurs, constructeurs, décorateurs

Plus de 200 distributeurs
Marlux de première importance
sont répartis dans tout le pays.
Ils peuvent vous montrer
les dalles de mosaïque
de marbre Marlux
et vous renseigner.
Faites-leur confiance.

Demandez la liste complète de nos concessionnaires.



Prises au hasard dans une gamme éblouissante...
quatre dalles en mosaïque de marbre Marlux.

marlux



une production LAMBERTS-HERMANS,
LONDRZEEL, BELGIQUE - TEL. : 052/39.755 3L

Notre salle d'exposition est à votre disposition,
à la disposition de vos clients.

LA TECHNIQUE DES TRAVAUX

REVUE BIMESTRIELLE DES PROCÉDÉS MODERNES DE CONSTRUCTION

Adresse postale : « La Technique des Travaux »,
195, rue Grégoire, Liège (Belgique).

Téléphone : Liège 42.00.60 (20 lignes).

Relevés : Chèques postaux n° 271.25

Banques : Napoléonka Filz et C^o, Liège et
Bruxelles.

	Titre du numéro	Abonnement en francs belges
Belgique et Luxembourg	Fr. 44	Fr. 200
Étranger	Fr. 56	Fr. 220

MAI-JUIN 1967

42^e ANNÉE — N° 5-6

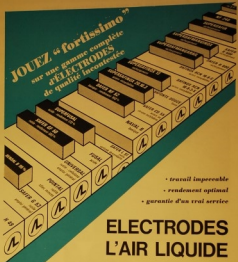
SOMMAIRE

- Les immeubles-tours de Hoboken-les-Anvers. Architectes : M. Denkmans,
M. Appel, et J. Welkx 130
- Le futur Opéra de Sydney (Australie). Architecte : Jørn Utzon 137
- Le nouveau Palais de Justice de Charleville-Mézières (Ardennes). Architectes :
Jean-R. Dupré, Jean-Paul Dupré et Henri Hämmel 149
- L'école secondaire de Cheddar (Angleterre). Architecte : Bernard C. Adams 157
- Le gymnase de l'Institut agricole et technique de Farmingdale (États-Unis) et
son toit plan, circulaire et suspendu de 43,50 m de diamètre. Architecte-
projeteur : Philip F. Moyer, du cabinet d'architectes Max D. Urbahn,
New York 165
- Calcul des constructions à l'effondrement par W. Kerkhofs, Ingénieur A.I.G.,
Professeur à l'Université Lovanium, Kinshasa (Congo) 173



Les auteurs des articles publiés dans cette revue acceptent l'entière responsabilité des opinions émises
par eux. — Il est expressément interdit de reproduire, sans autorisation écrite, des articles ou des
illustrations figurant dans cette publication.

JOUEZ « fortissimo »TM
 sur une gamme complète
 d'ELECTRODES
 de qualité incontestée



- travail impeccable
- rendement optimal
- garantie d'un vrai service

ELECTRODES L'AIR LIQUIDE



BON POUR UN ESSAI GRATUIT

Je désire le passage de votre technicien Veuillez m'adresser votre catalogue de base

Nom _____

Prénom _____

Adresse _____

Adresse de la firme _____

L'AIR LIQUIDE BELGE - BRUXELLES - 10 rue van Duyn - Tél. 020 71 00 - L'AIR LIQUIDE FRANCE - 40, rue de Valenciennes - Tél. 01 47 00 40 40
 L'AIR LIQUIDE ITALIE - 101 rue de Valenciennes - Tél. 02 47 00 40 40 - L'AIR LIQUIDE SUISSE - 101 rue de Valenciennes - Tél. 02 47 00 40 40
 L'AIR LIQUIDE ESPAGNE - 101 rue de Valenciennes - Tél. 02 47 00 40 40 - L'AIR LIQUIDE PORTUGAL - 101 rue de Valenciennes - Tél. 02 47 00 40 40
 L'AIR LIQUIDE GERMANY - 101 rue de Valenciennes - Tél. 02 47 00 40 40 - L'AIR LIQUIDE POLYMER - 101 rue de Valenciennes - Tél. 02 47 00 40 40



FIG. 3. — Les immeubles-tours en Belgique. Vue d'ensemble des blocs 2 et 3, près de Morsbroeck.

LES IMMEUBLES-TOURS DE HOBOKEN-LEZ-ANVERS

EXEMPLE DE PRÉFABRICATION LOURDE
POUR LA CONSTRUCTION D'UN GROUPE
D'IMMEUBLES D'HABITATION DE 15 ÉTAGES

Architectes : M. DENKENS, M. APPEL et J. WELSLAU
Ingénieur-conseil : Bureau d'études BETARMAC

Peu sont les problèmes qui ont toujours retenu l'attention des architectes, celui du logement social (on dit aussi « à loyer modéré ») occupe une place de choix. Son intérêt, au delà de ses caractères utopiques, réside dans la nécessité de l'application judicieuse des solutions techniques. Car, si les crédits affectés à ce genre de construction ont été de tout temps abondamment versés, les programmes

étaient par contre fort vides, de sorte que les conditions de réalisation étaient généralement limitées dans la pratique.

Ces difficultés ont conduit les architectes à chercher à « complexer les grands moyens » (si l'on peut dire) pour résoudre ce problème persistant. On est arrivé tout d'abord à abaisser le prix de revient en standardisant le plus grand nombre



FIG. 1. — Les immeubles-tours au HOBOKEN-NE-JERSEY. Vue d'ensemble des blocs 1 et 2. Ces immeubles-tours d'habitation, de 22 étages, ont été conçus sur un plan en croix. Leur construction constitue un bon exemple d'utilisation de la préfabrique en béton. Remarquons l'effet décoratif obtenu sur les façades par le jeu des panneaux préfabriqués, ainsi certains sont richement décorés (deux types).

Les photographes SHANNON & SHANNON ont été aidés par les gens de Hoboken, New Jersey.

LES IMMEUBLES-TOURS DE HOBOKEN - LEZ - ANVERS

(voir texte en regard)

FIG. 2. — Détail au rez-de-chaussée des tours 1. Les piliers, en avant-plan, délimitent un petit «foyer» d'une hauteur d'un étage et dont l'aspect apparaît, à l'échelle, comme celui d'un très bel effet, combiné avec les panneaux préfabriqués des façades.





Fig. 4. — Vue prise lors de l'achèvement de l'un des tours. Toute l'escalier de secours à l'air libre, à l'angle des deux tours.

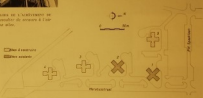


Fig. 5. — Plan soulignant en noir les emplacements des bords des escaliers et ceux réservés à attendre.

possibilité d'éléments de construction, dont la fabrication se fait en usine.

Pendant longtemps, le gros œuvre n'a pas été influencé par ces normalisations, et il convient de rappeler ici, combien sont souvent défavorables et contraignent les conditions habituelles dans lesquelles s'érige le gros œuvre d'une construction.

(*) La Technique des Travaux s'est souvent intéressée à ce problème en lui consacrant de nombreuses études, découlant de nouvelles techniques et montrant l'efficacité croissante des procédés employés. Voir notamment dans les numéros de janvier-décembre 1952 et juillet-août 1953,

Description technique

Fondations

En raison de la nature du sol, les fondations ont été réalisées au moyen de pieux Franki de 100 t de charge portante. Le bloc A est fondé sur 80 pieux, le bloc B sur 100 pieux, dont la longueur moyenne est de 11,80 m. Outre sa charge verticale, chaque pieu supporte 1,5 à 2 t d'effort horizontal (fig. 6).

Superstructure

La préfabrication lourde dans le bâtiment se caractérise par le fait que la manutention des pièces préfabriquées nécessite des moyens mécaniques puissants. Par contre, la préfabrication elle-même des pièces sur le chantier s'accroît de l'équipement relativement léger (¹).

Les procédés de préfabrication lourde viennent surtout de France. Dans notre article sur le « Cité Modèle » de Hesse, à Bruxelles, nous avons eu l'occasion de décrire deux d'entre eux (²). Les tours de Hoboken, objet du présent article, constitueront une nouvelle application de la préfabrication lourde suivant le procédé Couvert, adopté après

essais effectués au Laboratoire de Matériaux de l'Université Libre de Bruxelles.

La superstructure préfabriquée des tours de Hoboken est constituée d'éléments portants, murs et planchers, en béton armé.

Les parties constructives représentent les efforts verticaux et horizontaux. Les tensions admises sur

les articles relatifs à sa « Formule à appartements pour l'effort des H.L.M. de la Sarthe, au Mans » et à « L'ensemble technique Toulon à Chalon-sur-Saône ».

(²) Voir La Technique des Travaux, numéros de septembre-octobre 1950.

Fig. 16. — *Trame 1*. Vue en coupe, par élévation sur supports à niveaux. Disposé dans une aile, il possède une entrée indépendante (au fond et à droite), et se trouve en communication avec le hall des ascenseurs.



Fig. 17. — La rampe est située devant le sas entre l'extérieur et le hall des ascenseurs. À droite, l'escalier dans une aile conçue l'effet original.

Fig. 18 (à droite). — Le sas aux ascenseurs. Un ascenseur descend des étages pairs, tandis les étages impairs.



Description des plans

Trame 1 et 2 (voir I)

Construite en forme de croix, la trame 1 comporte trois ailes de 11,32 m x 7,80 m et une aile de 9,42 m x 7,80 m. Au rez-de-chaussée, une aile est réservée à l'entrée (fig. 13 et 17) conduisant vers les ascenseurs et les dégagements, une autre aile comporte les installations techniques (cuisine à haute tension et pompes), la troisième (fig. 16) est affectée aux voitures d'élévateurs, sifons, etc. Les locaux du rez-de-chaussée ont une hauteur double en comprenant l'entresol.



Fig. 8. — Vue intérieure au sous-sol. Dans l'angle, les colonnes des traversées archées.

- une main-d'œuvre peu qualifiée suffit pour donner un très bon rendement;
- la surveillance est réduite au minimum;
- l'achèvement des piliers et la qualité des matériaux tels en creux tend vers un maximum satisfaisant;
- le montage des éléments est aisé;
- le montage est rapide, surtout d'un étage à quatre appartements au moins de cinq jours, par un personnel réduit, surveillance réduite;
- les murs extérieurs portant le revêtement de façade; les rebords de fenêtres, de portes que les canalisations électriques, sont incorporés; les faces intérieures sont lisses; l'isolation se fait par vide d'air et laine de verre;
- les planchers donnent un planché lisse et une étape suffisante de pavement. Le tout est traité par un apprêt de bitume et de plaques de polystyrène.

b) Un point de vue économique :

- le prix de l'ouvrage est réduit par rapport à une construction standard normale;
- le coût par mètre une grande standardisation et une industrialisation poussée. Il donne un très bon rendement avec une main-d'œuvre réduite et peu spécialisée;
- le degré de souffrance est insignifiant; les débris sont réduits.

Infrastructure :

Quant à l'infrastructure, elle est également en béton armé sur une hauteur de deux étages. Les colonnes et poutres sont calculées en portiques

multiples transversaux et longitudinaux. Le gabarit des poutres (3,20 m) a permis de créer un vide dans le double plancher où sont logés les canalisations diverses.

Tous les balcons apparents sont lisses.

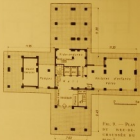


Fig. 9. — Plan de l'infrastructure au sous-sol.



Fig. 15. — Les axes noirs et la coupe I. Le coin est prisé du sud-ouest de l'axe de la terrasse. 1. L'axe principal, les axes 2 et 3 du bloc 2, et, fond, les entrées ailes du bloc 2.

Aux étages, nous trouvons une disposition d'appartements symétriques pour les ailes 2 et 4, qui comportent chacune une entrée avec vestibule et débarras, une salle de séjour, deux chambres à coucher, cuisine, salle de bain, laverie, et séchoir (Fig. 14, 15 et 16).

Il conviendrait de souligner la solution originale que les architectes ont adoptée en combinant la salle de bain et la laverie, avec un seul éclairage. Une cloison ne dépassant pas la hauteur des appareils sanitaires, sépare les deux locaux.

L'aile 3 comporte un appartement avec une seule chambre à coucher; la distribution des locaux de l'aile 3 se rapproche fort de celle des ailes 2 et 4. Quant à la zone 2 la figure 15 montre la disposition des appartements à deux chambres à coucher, dans les ailes 1 et 3 et à trois chambres à coucher pour les ailes 2 et 4.

Tours 1, 4 et 5 (rues III)

Le programme final de ce groupe d'habitations

comporte en tout cinq tours dont deux, les tours 1 et 2, sont terminées.

En raison de certaines modifications que les architectes ont cru devoir apporter à la conception de leurs plans, nous croyons intéressant de présenter le plan type des trois tours à construire qui sont identiques et dont la principale caractéristique est qu'elles n'ont pas d'étage technique. De ce fait, on a pu y prévoir un niveau du rez-de-chaussée, en dehors du grand vestibule, du hall d'ascenseur et du local pour voitures d'entraîneurs comme dans les types 1 et 2, deux logements (flats) pour célibataires, se composant d'une salle de séjour avec séchoir, cuisine et salle de bain. La dernière aile est entièrement occupée par un appartement à deux chambres à coucher avec living, cuisine, salle de bain et séchoir (Fig. 16).

Le plan des étages types comporte en tout trois appartements à deux chambres à coucher et deux flats analogues à ceux du rez-de-chaussée. Dans l'ensemble, chacune des trois tours comporte 49 appartements et 34 studios (Fig. 17).



Fig. 1. — Vue aérienne synthétique de Sydney en Australie, avec, au premier plan, le futur théâtre d'opéra, au second plan, la ville de Sydney, tel que se le représentait son auteur, l'architecte danois Jørn Utzon.

LE FUTUR OPÉRA DE SYDNEY

Architecte : Jørn UTZON

Depuis le 1^{er} janvier 1967 les habitants de Sydney et même tous les Australiens s'interrogent sur l'aspect définitif et la date d'achèvement de leur Grand Opéra de cette grande métropole, en construction sur une petite péninsule à l'entrée du port (fig. 1).

C'est, en effet, d'une part, que l'expression architecturale de l'édifice a été modifiée de nombreuses fois depuis que l'architecte danois Jørn

Utzon — après cinquante d'un concours qui ne mobilisa pas moins de 921 concurrents de trente nationalités — remît le projet qui lui valut de décrocher la commande; d'autre part, que, conformément à la même année, cette décevante construction est devenue l'objet d'une réforme. Prévue pour 1969 son inauguration a été reportée successivement à 1961, 1962 1965... et l'on parle, aujourd'hui, de 1968, voire de 1969 !



FIG. 11. — Une cuisine et son sanitaire.

Chauffage

Les logements que nous décrivons étant du type économique et familial, il a paru logique de les équiper de chauffage individuel, pour éviter toutes les complications du chauffage central quant au comptage des calories distribuées. La source de chaleur est obtenue au moyen d'un appareil spécial *Balex* du type « chauffe-bain » fixé au mur dans la salle de bain, à côté du chauffe-eau qui distribue l'eau chaude aux appareils sanitaires.

Les radiateurs au acier du type courant sont placés devant les fenêtres comme cela se fait dans l'installation classique. Prêts en noir, leur rendement est ainsi au maximum.



FIG. 12. — Une salle de séjour avec un meub. L. Sol en plaques de vinyle de ton gris clair.

Les équipements des cuisines et salles de bain répondent aux exigences d'une clientèle modeste, mais apprécient le confort compatible avec le caractère des habitations à loyers modérés.

Équipements divers

Les parties communes sont fort bien traitées. Le vestibule d'entrée et le hall d'ascenseurs sont revêtus de dalles en granité de ton clair, reliées de bandes foncées. Les murs en béton apparent sont prêts en blanc (fig. 11 et 12). Les portes d'ascenseurs sont en bleu.

Le sol des salles de séjour, des chambres et des salles d'eau est réalisé en plaques de vinyle de ton gris clair.

Les lettres à lettres sont groupées dans le vestibule d'entrée, tandis que les lettres à provision ont trouvé leur place dans la partie du hall située derrière les ascenseurs.

Félicitons les architectes Deshors, Appell et Weis-stein pour avoir fort judicieusement établi leurs plans, et le Bureau d'Etudes Betermine pour les avoir secondés dans la mise au point et l'application de la préfabrication lourde. Il nous plaît de rendre hommage à la Société locale « Better Women » qui, sous le patronage de la Société Nationale du Logement, a pris l'initiative de cette belle réalisation. Enfin, il y a lieu de mentionner la Société des Travaux en Béton et Draggées « Stambel », chargée de l'entreprise générale et qui a mené à bonne fin et avec une diligence méritant d'être soulignée, ces importants travaux.

L. DEBORNO,
Ingénieur.

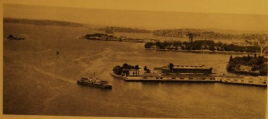


Fig. 5. — Sydney, Port, à l'entrée du port de Sydney, fut le site choisi pour édifier le Grand Opéra de l'Etat australien de la Nouvelle-Galles du Sud.

Si cette conception, pour le moins peu orthodoxe, d'un ouvrage qui, d'ordinaire, se présente comme un monument — souvent le plus important d'une ville — a séduit le jury du concours, elle n'a pas convaincu, d'abord d'habitude la population, puis de rendre un tel projet. Mais, comme disent les Anglais : « Les choses arrivent, le terrain passe... ». Depuis l'été Sydney, qui a pris son parti de cette gageure, ne se pose plus que deux questions : « Quand votre Maestri Opéra construira-t-il son palais ? » « Combien, finalement, vous aura-t-il coûté ? » car, des quelques 50 millions de francs prévus au départ, on en était à plus de 200 millions à la fin de 1965, 500 millions le 8 mars 1968 et plus de 650 millions au 1^{er} janvier 1967 : les travaux ont vué les choses, le milliard n'est pas loin, mais il semble que tout le monde en ait pris son parti, à commencer par les entreprises diverses appelées à collaborer à ce grand œuvre et qui déclinent à l'envi « sans apprêt beaucoup de choses et ne regretter ni leur peine, ni leur temps ». Comme on les comprend !

Il faut dire que, pour tous les architectes qui se veulent « dans le vent » — et Ulm a montré qu'il y avait par-dessus-le-marché — le futur opéra est le meilleur exemple, celui auquel on peut tout demander, du meilleur au pire, d'autant plus qu'il se trouve toujours des ingénieurs pour assurer l'exécution des projets les plus excentriques et même, parfois, les plus fobles.

C'est bien sans doute ce que s'était dit Jørn Utzon quand il avait esquissé l'image qu'il se faisait de la toiture du futur opéra, une image que les photographies des premières maquettes permettent de saisir sous plusieurs angles (fig. 2 à 4).

Evolution du projet

Pourtant, cette conception, cette vue de l'esprit, ne furent irréalisables techniquement parlant. Elle

fut, en conséquence, validée de nombreuses transformations, les courbes gonflées devenant successivement des paraboles elliptiques, des paraboles cubiques, des ellipsoïdes, etc. Finalement, mais seulement après des années d'étude sur maquettes et d'innombrables plans, ingénieurs, entrepreneurs et architectes s'entendirent sur une configuration de « voiles » en forme de coquilles qui n'avait plus, comme inconsciemment espéré, que celui de nécessiter une technique d'exécution extrêmement complexe.

Or, à la surprise des ingénieurs (il en fut modifié un centième plus de 200 par l'entreprise générale) cette technique, c'est Jørn Utzon lui-même qui l'imagina en suggérant une solution aussi simple qu'élegante, mais qui modifia une fois de plus la forme des voiles. Elles-ci devenaient, en effet, chacune, un segment d'une même sphère — une sphère de 75 m de rayon — au pôle de laquelle se rejoignaient toutes les nervures, ou côtes, des coquilles (fig. 7).

Technique d'exécution

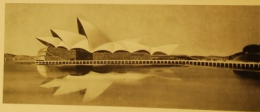
Et bien ! 18 mois furent encore nécessaires pour mettre au point la technique d'exécution en béton armé précontraint de cette nouvelle géométrie, et l'on y aurait sûrement encore si le calculateur électronique n'avait pas été inventé... Il est vrai qu'il n'avait pas fallu moins de trois années et demi pour construire le maquette-musée de l'ouvrage, un ouvrage dont le poids est évalué à 100 000 t et dont



Fig. 1, 2 et 3. — Trois réalisations de la sculpture en l'architecture. Les courbes, figurant des voiles gonflées d'un vent venant du large, s'arrivent fort vigoureusement irrégulièrement. On en modifie plusieurs fois les formes pour les harmoniser, en définitive, on rejointe d'une même épaisseur de 25 cm de bois.

Historique et analyse du projet

Qui a valu à Joens Ueno le privilège d'être choisi ? Un séchage de quatre jours de nationalité australienne, britannique et américaine. Quelle particularité du projet choisit à bien pu impressionner cet séchage ? Sans doute l'introduction d'un bâtiment devant apparaître, de la mer ou du ciel, comme un îlot de voiles gonflées du vent du large, cela parce qu'il devait s'élever sur une petite presqu'île à l'entrée d'un grand port, et aussi, peut-être, parce que dans tout Danie, il n'y avait pas d'architecte, seulement un marin...



les fondations ont obligé à fonder jusqu'en rose 700 pieux de 30 cm de diamètre, dont certains de 21 m de hauteur.

Ainsi en est-on arrivé à prélever au sol les 2 200 « côtes » des coquilles, des pièces pesant chacune de 7 à 12 t. Les mettre en place ne fut pas une petite affaire, les éléments de la « nef » principale s'élevant à environ 50 m au-dessus du quai (et 67 m au-dessus du niveau de la mer). Pour y parvenir, il fallut trois grues de chacune 300 t/m de force de levage, se déplaçant sur les plates-formes métalliques (fig. 10), une arche télescopique temporaire et des échafaudages d'une complexité inouïe (fig. 8 et 9). L'ouvrage et le pont l'estime supérieure de la petite passerelle de Besseling Point, soit près de 3 hectares (fig. 6).

Les coquilles ont été recouvertes et posées de tuiles en céramique blanche, alternativement mates et brillantes, rappelant la laque chinoise de l'époque Ming (fig. 11). Il n'en fallut pas moins de 1 100 000 de plus de diverses dimensions, ce qui n'exclut pas pour autant d'avoir à en découper sur place.

Les trois voûtes de gradins en béton de la grande salle ont été préfabriquées en atelier (fig. 12).



Fig. 8 et 9. — Vue en perspective d'une des grues télescopiques métalliques, installées sur place, au-dessus de leur levage, les éléments des coquilles, jusqu'à ce qu'ils puissent s'élever sur les échafauds.



Fig. 6. — Les éléments de la coque sont montés en position et sont recouverts d'un matériau imperméable et suspendu autour de la coque (tableau) (2,6 m) de la partie principale de la coque laquelle l'ouvrage est dirigé. Les éléments préfabriqués en béton, au premier plan, ont été coulés sur place.

Fig. 7 (continué). — Les éléments de la coque sont montés en position. Pour faciliter la position des éléments des caisses en a été montés à trois gros bouts de manière à plus facilement les placer (100 cm de haut de la coque). Les éléments préfabriqués de 7 à 12 t et ceux de la grande nef atteignent à 14 m au-dessus de la position.

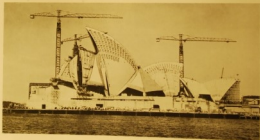




Fig. 12. — Avant son installation au réacteur. Au premier plan, cadres de grandes poutres fabriquées en béton armé.

Contrôle des premiers travaux par détection radioactive

Cette phase des travaux terminée, Ode Arup & Partners, ingénieurs-conseils du projet, ont fait appel à Enisearch Ltd., société de recherche et de perfectionnement de l'Université de la Nouvelle-Galles du Sud, pour décider par radioactivité les fissures éventuellement présentes dans les copies en béton de la couverture.

En vertu d'un contrat passé avec le Commissariat australien à l'Énergie Atomique, Enisearch a, en effet, adjoint à ses activités scientifiques générales un service spécial spécialisé de détection par isotopes radioactifs qu'elle met à la disposition de l'industrie.

C'est pendant la première fois au monde que cette curieuse technique de « dépiéage » a été appliquée à la vérification *in situ* de la bonne exé-

cution d'un ouvrage en béton armé, en vue d'y localiser d'éventuelles déficiences, des déficiences qui, d'ailleurs, n'auraient jamais été soupçonnées, si fortiori décelées, par une autre méthode.

C'est sans doute aussi la première fois qu'un liquide contenant un radio-isotope — ici du carbone-14 soluble dans le béton — a été retenu sous pression dans une structure compacte.

Toujours est-il que la méthode utilisée a permis de détecter certaines vides entre les béton stabilisés — disons : ayant terminé sa cure — et les câbles d'acier de précontrainte dans les nervures de quelque 60 m de hauteur de la couverture en question. Ces vides furent ainsi vite comblés, éliminant le risque de corrosion des câbles par l'air marin.

La solution radioactive fut préparée dans une cuve blindée et retournée, par un compresseur d'air

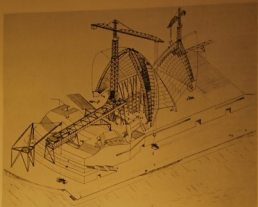


Fig. 10. — Vue en perspective en coupe. Les grues à tour sont installées sur des passerelles. Elles peuvent basculer en orientation toute et sont capables de lever 20 t à 30 m de hauteur.



Fig. 11 (à gauche). — Les aéroces — en coupe — sont réalisés en tubes chromés en acier, alternativement mâlés et traités, ou en acier fibré par des pailles et des bandes en alliage de bronze-aluminium. Leur étanchéité est assurée par des bandes de matière plastique.



FIG. 15 et 16. — Une nouvelle méthode de montage de béton en terrasse au moyen d'éléments préfabriqués en série au cours même de la construction.

à piston, spécialement conçu pour la circonstance, entre les brins, des câbles étagés dans des gaines, au centre des coupes de béton. L'opération fut conduite par des techniciens munis de compteurs à scintillations, l'intensité de ces scintillations étant, naturellement, proportionnelle à la quantité de solution traversant et s'accumulant en certains points des masses de béton, dans le cas où étaient formés des vides. Il n'y eut qu'à repérer soigneusement ces points pour porter remède aux déficiences constatées.

L'application de cette méthode fut étendue aux gaines des câbles de précontrainte, mais en utilisant le moyeu-montant gamma du système 137. Elle permit de réaliser une section de gaine complètement vide de béton.





Fig. 1. — Vue monumentale du nouveau Palais de Justice de Charleville-Mézières, long et clair édifice d'une grande noblesse de style, perché d'un vaste parvis sur lequel sera prochainement dressée une sculpture originale de Marcel Béraud symbolisant la Justice. A gauche, bâtiment pour logements de Justice.

LE NOUVEAU PALAIS DE JUSTICE DE CHARLEVILLE-MÉZIÈRES (ARDENNES)

Architectes : Jean-A. DUPRÉ, Architecte Départemental, D.P.L.G. S.A.D.G.
en collaboration avec Jean-Paul DUPRÉ et Henri HARPEL, Architectes D.P.L.G. S.A.D.G.

Le nouveau Palais de Justice de Charleville-Mézières, qui vient de prendre place au cœur de la CIM Administrative du Département des Ardennes, se présente comme un long et clair édi-

fice, aux proportions monumentales et d'une grande noblesse de style, qui précède un vaste parvis bordé d'un côté par un bâtiment de fonction à trois étages (Fig. 1).

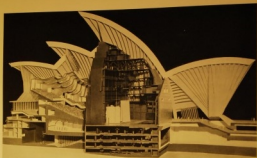


Fig. 17. — Trois ans auparavant montrait la composition et la distribution intérieure de l'ouvrage. On observe que les dessins et le coloris sont intégrés, dans une habitude, à l'ensemble des constructions distinctes, généralement peu architecturales.

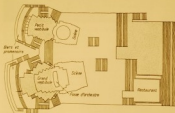


Fig. 18. — Plan schématisé en vue de nos études.

La documentation photographique illustrée est tirée avec le plus minutieux intérêt des livres de l'ouvrage de l'architecte, voir à l'annexe 1, Paris.

Attendons que tout cela soit fin prêt pour nous y introduire avec nos lecteurs.

Restons cependant, en terminant, non seulement à l'architecte de ce grand œuvre, mais à tous

ceux qui y ont collaboré et y collaboreront encore : Our Group & Partners, les ingénieurs-conseils, déjà nommés et M. R. Burnbrook Pty. Ltd, l'entreprise générale.

René BISSON.



Fig. 3. — Vue perspective et un aspect extérieur (Paris), avec ses grandes surfaces vitrées hautes de trois étages qui recouvrent des services judiciaires généraux. Combinaison en béton armé contre de violentes tempêtes.

Dans le projet établi à l'origine, il avait été prévu trois salles d'audiences, dont les deux premières, de 400 places respectivement, devaient être réservées à la Cour d'Assises et au Tribunal de première instance, tandis que la troisième était destinée au Tribunal de Commerce.

Cependant, alors que les services administratifs avaient déjà pu être aménagés dans un bâtiment ancien, jugé digne d'être conservé après rénovation, et bien que les travaux militaires à réaménager eussent été réalisés dès 1954 à la Ville de Metziers, la construction du Palais de Justice fut retardée d'une bonne dizaine d'années du fait de la

réorganisation des institutions judiciaires intervenue entre-temps, qui imposa un remaniement complet du projet initial.

Sur la surface restante disponible de 6 hectares, circonscrite par deux bras de la Moselle et deux canaux (fig. 3), le Gâté Administratif comprend aujourd'hui, à proximité de la Préfecture des Ardennes et de l'Hôtel de Ville, entre le Palais de Justice et le bâtiment ancien des logements de fonction (fig. 4), l'immeuble proprement dit des services administratifs, les archives départementales, un groupe scolaire, des bâtiments d'habitation et quelques espaces verts (fig. 2).

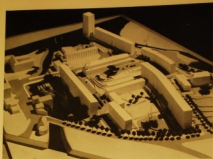


Fig. 2. — Vue perspective du projet reconstruit de la couronne de la J. P. Crémieux, qui comprend, sur 5 ha, le Palais de Justice et ses dépendances de fonctions, les archives départementales, un groupe scolaire et des bâtiments d'habitation en milieu d'espace vert.

Historique du projet

L'ancien Palais de Justice avait été entièrement détruit au cours de la guerre de 1870-1945. Avant d'être décidé, en principe, peu avant la fin des hostilités, de le reconstruire dans le cadre d'un programme d'ensemble mais à l'étude dans le but de regrouper tous les services départementaux sur les terrains de la vieille citadelle de Nancy.

Une photographie de l'ensemble du projet, avec un plan de l'ancien Palais de Justice.



Fig. 3. — Vue aérienne du Palais de Justice reconstruit dans une banlieue de la Ville, à proximité immédiate de l'Église de Ville et de la Préfecture.



Fig. 4. — Le bâtiment ancien transformé en résidence, situé sur le site d'abord du palais qui précède le Palais de Justice.

lement, en session extraordinaire, pour les procès en Cour d'Assises; l'aile, de 85 places, est affectée au Tribunal de Commerce (fig. 7).

Ceux des services affectés à la première salle qui sont nécessaires et utiles à la bonne marche des audiences, tels que salle de Conseil, bureaux du Président, du greffier, des avocats, du bâtonnier, des avoués, bureaux pour le public et les témoins, etc., ont été répartis sur le pourtour et au même niveau. Par contre, les bureaux de la Présidence et ceux des magistrats du siège, avec leur bibliothèque, ont été placés au premier étage (fig. 9) de manière à leur assurer une grande liberté de mouvement, tout en leur ménageant une liaison directe avec la salle d'audience. Des dispositions analogues ont été adoptées pour les services du Tribunal de Commerce, de moindre importance, qui font suite immédiatement à la salle d'audience correspondante.



Fig. 8. — Le hall de la salle des audiences.

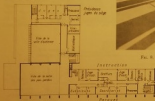


Fig. 9. — Plan de premier étage.

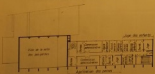


Fig. 10 (à gauche). — Plan de second étage.

Tous les services judiciaires spécialisés ont été distribués entre le premier et le second étage (fig. 9 et 10). L'Instruction et le Parquet occupent le premier étage, tandis que les bureaux de la direction pénale et de l'application des peines sont installés au second (fig. 10).

Le gardiennage et la surveillance de la circulation dans l'édifice sont dévolus à un concierge, dont la loge, qui flanque la salle des pas-perdus, est disposée de

Description

La façade principale offre à la vue 14 verrières vitrées hautes de 3 étages encadrées par des piliers massifs (fig. 5). Cette colonnade donne accès, au rez-de-chaussée, à la spacieuse salle des pas-perdus (fig. 8 et 11) qui constitue le centre de la composition et sur laquelle s'ordonnent également les deux salles d'audiences : celle du Tribunal de grande instance, de 150 places, est utilisable éga-

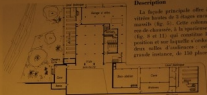


Fig. 6. — Plan de rez-de-chaussée.

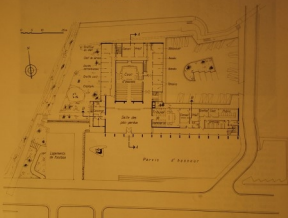


Fig. 7. — Plan de 100 m. de hauteur.

FIG. 13. — Facades
 occidentales de la
 (Noma et Hsu) en
 Paris en France,
 montrant une zone
 centrale avec une
 porte de station-
 nement pour vélo-
 cistes et aussi
 d'axes indipen-
 dants.



FIG. 14. — Coupe
 longitudinale.

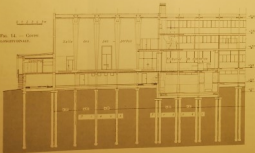




FIG. 11. — Vue de la salle au repos, donnant sur salles d'audiences (20 et 30 places).

manière à permettre au public d'obtenir aisément les renseignements dont il peut avoir besoin.

Le sous-sol est occupé par les services généraux : archives des greffes, chauffage, entrée des accusés avec escaliers d'accès direct vers la salle d'audiences, vestiaires, etc. (Fig. 6).

Les façades postérieures Nord et Est de l'édifice sont bordées par une cour-jardin avec parc de stationnement pour voitures et suite d'arcs indépendants (Fig. 13).

Détails de construction et équipements

La construction, en béton armé haut de décafrage au revêtement ciment superplastique, est du type traditionnel (Fig. 12 et 14). Toutes les menuiseries sont métalliques, celles de la façade principale formant murs-rideaux en avant des services spéciaux.

La fondation est appuie sur pieux Frankl. Il a été mis en œuvre, au total, 350 pieux Frankl de 10,50 m de longueur moyenne, pour le Palais de Justice et les logements de fonction.

L'installation de chauffage à eau chaude est rattachée au réseau de chauffage urbain de la Cité-Jules. Les locaux accessibles au public sont chauffés par le plancher; de plus, un chauffage intermittent d'appoint, avec extraction de l'air vicié, équipe les salles d'audiences. Les bureaux sont

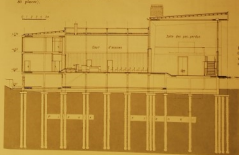


FIG. 12. — Coupe transversale.



Fig. 1. — L'école secondaire de Cheddar (Somerset). Vue de la façade Nord prise vers l'entrée principale de l'école. Sous le balcon extérieur des portes hautes avec le haut central qui monte sur un étage. Au fond, l'aile des locaux sociaux et les laboratoires.

L'ÉCOLE SECONDAIRE DE CHEDDAR (ANGLETERRE)

Architecte : Bernard C. ADAMS, A.R.C.A., County Architect, Somerset

La nouvelle école secondaire de Cheddar est une magnifique réalisation en ce sens qu'elle lui participe l'accent au développement harmonieux de sa propre personnalité et lui donne le cadre qui lui convient, dans un ensemble architectural de qualité.

C'est une œuvre remarquable tant par l'habile distribution des plans que pour la juste proportion et l'éclaircie colorées de ses façades, judicieusement réparties sur un vaste terrain dont l'architecte Bernard C. Adams a tiré un excellent parti.

Il convient ici d'ouvrir une parenthèse pour signaler la découverte sur le site, au moment du

commencement des études, de vestiges archéologiques, en l'occurrence de fondations d'une chapelle du Palais Royal Saxon datant du 9^e siècle. C'était en fait la troisième chapelle, les deux précédentes étant du 12^e et du 13^e siècle.

Cette découverte fut un facteur déterminant du plan général de la nouvelle construction. Les restes de la chapelle furent préservés; mais les excavations archéologiques obligèrent l'architecte à monter pour le niveau de l'avant-cour, plus haut que primitivement prévu.

Les traces des anciennes constructions ont été sauvegardées au moyen de petits blocs visibles au niveau du terrain général (fig. 2 et 3).

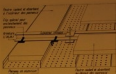


FIG. 14. — Détail des raccordements entre deux traverses 12, combinaison de panneaux en aluminium perforé et de plaques de ferre.

chauffés par le gléboal; les selles d'anchorage sont dotées de conditionneurs d'air.

Toutes les installations électriques et téléphoniques (réseau lumière, éclairage de sécurité, sonneries d'appel, etc.) sont canalisées sous tubes d'acier émaillé.

La correction acoustique a fait l'objet d'une étude particulière confiée à l'Entreprise I.T.A., qui a abouti à la mise en place, en collaboration avec les entreprises de chauffage, de sous-plancherages

acoustiques et radiants. Le matériau isolant est un feutre isolant et absorbant, qui, combiné avec un panneau en aluminium perforé (fig. 15), se présente sous la forme de lames en bandes dont la surface est rigoureusement plane. Laqué en zinc, il est livré sur le chantier prêt à la pose. Sa fixation s'effectue au moyen de clips, mais-mêmes faits sur une armature métallique, ce qui permet un démontage très facile des panneaux. Le feutre acoustique absorbant (de 25 mm d'épaisseur) est placé au-dessus des tubes chauffants.

47

La décoration est accordée à l'authenticité des lieux, qu'évoquent discrètement les deux motifs symétriques dessinés par Marcel Blum, grand prix de sculpture, qui ornent les panneaux de la porte de la salle d'audiences de la Cour d'Assises (fig. 16), en attendant qu'une sculpture originale exécutée par le même artiste et symbolisant la Justice vienne reposer sur son socle sur le parvis du Palais.

Ce temple de Thémis, d'inspiration classique et de lecture moderne, fait le plus grand honneur à l'équipe d'architectes qui en a dressé les plans.

A. B.



FIG. 16. — Motifs sculptés ornant les panneaux de la porte de la salle d'audiences de la Cour d'Assises, exécutés par Marcel Blum, grand prix de sculpture.



FIG. 4. — Vue de la façade S.W. Au centre, le site de musique avec sa terrasse reliée aux deux escaliers situés de part et d'autre. À l'avant-plan à droite, le site principal de la salle de gymnastique. En face les deux ou trois qui se trouvent la grande salle de récréation, prenant la hauteur de deux étages.

Le choix à Gheddaf fut particulièrement heureux comme nous l'avons dit plus haut et l'architecture a pu établir de vrais de liaisons de communications directes avec les espaces verts existants et tirer le meilleur parti des ressources que lui offrait le paysage (Fig. 2).

L'orientation générale de l'ensemble étant Nord-Sud, les axes des classes ont une orientation Est-Ouest. Le plan général (Fig. 3) montre bien le parti architectural adopté et la bonne utilisation du terrain. Le bâtiment de l'école a été reporté loin de la route avant tout en raison des discon-



FIG. 5. — Le hall d'entrée. Au fond, l'entrée des professeurs à gauche, une peinture murale dans l'axe est d'exprimer les orientations formelles géologiques de Gheddaf. Musée de culture des enfants.

Fig. 6. — Bâtiment de la maison de la communauté l'école primaire avec la salle de musique. Remarquons le jeu de poutres et celui de colonnes autour que nous retrouverons dans plus de onze autres de ce bel ensemble.



Le dé plus fut respecté le principe d'éviter les ostentations d'entrée et les cages d'escaliers trop monumentales, et de séduire les circulations au minimum.

Deux escaliers bien implantés assurent la circulation verticale. Celui descendant dans le hall d'entrée sert principalement aux professeurs dont la salle de repos se trouve à l'étage. Le second escalier situé à l'intersection de la partie centrale avec l'aile des classes spéciales est celui des élèves, un certain nombre de classes étant prévues à l'étage.

Parmi les solutions heureuses il nous plaît de souligner le hall des expositions avec vitrines qui donne l'idée d'une utilisation rationnelle des espaces de circulation (fig. 12).

Les locaux tels que les bureaux du directeur, de son adjoint, du secrétaire, du médecin et l'infirmier sont réduits au minimum et fort bien disposés.

La salle de révisions est en même temps le réfectoire des élèves et la cuisine toute proche s'intègre à l'ensemble au moment des repas grâce aux portes glissantes, qui tombent, isolent complètement les deux locaux (fig. 7 et 9).

Nous allons parcourir les divers locaux pour ajouter quelques commentaires.

Revue d'ensemble

L'Hôtel, toujours rigoureusement central, a conduit à grouper au centre, et à proximité de l'entrée principale, les locaux de réfection, la grande salle de réunion (pouvant servir également de réfectoire), avec entrée et la salle de musique attenante. La position de la cuisine est fort heureuse, car tout en étant séparée de la salle de réunion par un dégroupement qui conduit à la salle de gymnastique, elle peut être facilement intégrée par l'ouverture des portes glissantes; le self-service s'organise alors entre les deux locaux. La salle de gymnastique occupe l'extrémité de l'aile gauche, elle est complétée par des installations de douche et de vestiaires pour filles et garçons, situés dans la partie centrale de l'aile (fig. 7 et 10).

Les ateliers d'apprentissage, généralement bruyants, ont été séparés à l'extrémité de l'aile droite, évitant ainsi toute gêne pour les occupants des autres classes.

Il nous vient de remarquer l'aménagement devant les ateliers d'une vaste surface plane permettant aux élèves de travailler en plein air par beau temps. Lors de notre visite, nous y avons observé le groupe des garçons s'affairant autour d'une roue

Fig. 6. — Etablissement
Nancy, à l'extérieur géné-
rale, la chauffage.



méth), des laboratoires (science et biologie), des classes de science corrélatées avec notre programme.

A cet ensemble pédagogique proprement dit viennent s'ajouter une bibliothèque, une salle de réunions et une petite salle de musique. Enfin une salle de gymnastique avec vestiaires et douches pour garçons et filles complète ce bel ensemble scolaire.

Toutes les classes, salles et ateliers, sont pourvus d'un bon éclairage et d'une bonne orientation. Cette recherche a conduit l'architecte à une artère-

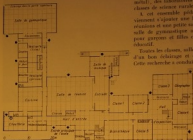


Fig. 7. — Plan et orientation.
Les quadrillages indiquent la construction de la construction.

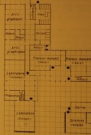
series architecturales. Ce retrail a également eu pour résultat d'augmenter le tirant d'air général et de faciliter l'accès des services sur les côtés, en opposition avec l'entrée des élèves bien dégagée et garnie de vastes vestiaires.

Les aménagements des abords furent étudiés avec beaucoup de soin. Un parking pour autos avec circulation à sens unique occupe la partie gauche du terrain. En avant et à droite l'emplacement pour garage des bicyclettes avec entrée qui servira également pour l'habitation du directeur prévue dans l'angle Nord-Ouest du terrain.

Description des plans

Etablissement modèle d'enseignement secondaire, destiné aux jeunes gens et aux jeunes filles, l'École de Cheddah, qui comporte 18 classes, comprend tous les éléments permettant de donner une éducation absolument complète.

C'est ainsi que l'on y trouve, outre les classes de cours généraux, des salles de dessin, d'enseignement ménager, de couture, des ateliers d'apprentissage utilisés par les jeunes gens (bois et



l'acier des différentes salles qui peut surprendre au premier abord, mais qui se révèle comme un parti logique et résultat d'une étude approfondie.



FIG. 9. — La même salle en rénovation, avec l'éclairage au jour. La décoration de cette salle exprime tout bien la mentalité de la construction.

Les dimensions idéales d'un atelier pour quatre à six hommes, ébauchées pour les années 1, 2, 3 et 4, 5, 6, 7, 8, 9, 10, 11, 12, 13, 14, 15, 16, 17, 18, 19, 20, 21, 22, 23, 24, 25, 26, 27, 28, 29, 30, 31 et 32.



FIG. 10. — La salle en construction. Facile dans le même esprit que la salle de réunion mais avec plus de confort, comme il convient au caractère particulier d'un tel local.

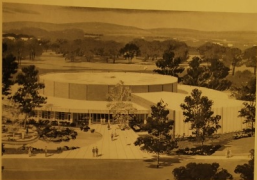


Fig. 1. — Vue aérienne de « Blue Tidewater Recreation » au Centre des Activités Physiques et Culturelles annexes au campus de l'Université de New York à Farmingdale (Long Island). Cet ouvrage circulaire constitue une salle de conférences et un théâtre de plein air de 200 places; un gymnase et les bureaux de l'Association des étudiants. En 1963, il fut achevé après une période éphémère.

LE GYMNASÉ DE L'INSTITUT AGRICOLE ET TECHNIQUE DE FARMINGDALE (N.Y.)

ET SON TOIT PLAN, CIRCULAIRE ET SUSPENDU
DE 43,50 MÈTRES DE DIAMÈTRE

Architecte-principal : Philip F. Meyer, du cabinet d'architectes Max O. Urish, New York

Le Collège Agricole et de Technologie Générale de l'Université de l'État de New York, vient d'être doté d'un « Centre d'Activités Physiques » important; sa portion centrale, circulaire, qui en constitue le gymnase, ne mesure que modestement, de 43,50 m de diamètre. Garantir ce volume de façon à y dégager de tout obstacle le libre exer-

cise des diverses activités, ne devait pas, à priori, poser de problèmes particuliers. Aussi les ingénieurs-conseils consultés par les maîtres d'ouvrage s'empressèrent-ils de proposer un toit parasolique, solution des plus rationnelles pour s'affranchir de la répétition des colonnes, piliers ou poteaux.

Malheureusement, cette formule ne pouvait res-

Détail de construction

La logique, nous la trouvons aussi dans la construction modulaire qui fut réalisée suivant le système V. G. Hillier. La construction de l'école ayant été retardée par le déclercat sur le site des vestiges archéologiques, l'usage du système préfabriqué et entièrement modulaire a permis de maîtriser tout le projet.

Le module adopté est de 2,00 m en plan et de 0,43 en hauteur. L'ossature est en charpente de bois de sapin, ce qui présente de multiples avantages (légereté, bonne isolation, économie).

Le matériau sol a exigé l'emploi de fondations en béton sur une très forte profondeur, et la construction en briques de l'infrastructure. La modularité a été poussée fort loin, notamment pour les pavements intérieurs et les chemins des accès (Rz. 10).

Les murs extérieurs sont revêtus de bois dur abîmé aux intempéries, en lattes de terre cuite et en modules souvent encastrés.

Les parties sous les fenêtres sont garnies de plaques en glassé noir. Tous les intérieurs sont revêtus de plaques de plâtre, de même que les plafonds.

Les escaliers, en bois, sont posés sur les poteaux en acier. Les sols sont recouverts de bois de chêne pour la salle de réunion, la salle de gymnastique et la bibliothèque et de vinyl pour les autres locaux. Seuls les locaux sanitaires, cuisine et ateliers, sont parés en dalles de pierres reconstituées.

Le charriage de tous les locaux est assuré au moyen de convecteurs et de radiateurs à eau chaude.

Certains locaux sont équipés de radio et de télévision.

•••

Félicitons l'architecte R. Adams pour cette œuvre pleine de sensibilité, où il s'est montré le véritable ami des jeunes, leur donnant le sentiment que cette école a véritablement été conçue et réalisée pour eux, à une échelle qui leur fait éprouver, avec une impression d'intimité, une grande sensation de liberté.

L. NIKONOVSKY,
Ingénieur-Architecte.



Fig. 13. — Le plan d'exécution, avec l'escalier modulaire avec les chemins adaptés à l'étage. Le vent est prévu dans la direction Sud-Ouest. A droite, module modulaire vers le hall de l'entrée principale. Toute la légèreté des colonnes et le hall support de l'escalier.

Fig. 4. — Vue en élévation de la section transversale du réfectoire du régime de la 3^e zone pénitentiaire. Le système est caractérisé en deux volumes d'égale hauteur par une abaque en sautoir dans lequel sont placés des poteaux et des colonnes de béton armé.



Fig. 5. — La salle d'attente est éclairée par le système de poteaux centraux et de poteaux de l'éclairage. Entre certains poteaux, des tables d'attente sont placées, séparées par des banquettes. Les tables sont éclairées par les lampes suspendues au plafond, ainsi que les banquettes séparées à un abaque.



Fig. 2. — Le nouveau bâtiment, vu de l'ouest. D'après les plans, il a subi une telle offre avec son appareillage en bois, ses encadrements de béton et ses fondations dérivées centrales en quatre points de béton aussi d'un seul. C'est sur le terrain qui l'en suit tel un premier plan que sera aménagée la galerie.

venir, car les autorités de tutelle imposaient une cloison mobile pour permettre, à l'occasion, d'ouvrir en deux portions égales le volume en question (fig. 4).

Avec un plafond concave, il aurait fallu surmonter la cloison en question d'une partie dorsale, en forme de segment de cercle, installé-

lique au premier chef puisqu'elle aurait dû résister l'effet de coupole, et que le poids eût dû, en outre, être pris en charge, avec celui de la cloison et de sa suspension, par la couverture.

Il fallait donc en venir à un plafond plan et trouver le moyen de le soutenir sur le plus grand diamètre possible tout en ménageant en son centre un lanternon.

La solution apportée par les ingénieurs à ce difficile problème mérita d'être exposée.

A première vue, rien de plus simple pourtant : 22 portiques en béton armé surmontant une aire circulaire de 58 m de diamètre. Normalement, ces portiques se seraient coupés à leur intersection puisque ils auraient formé deux diamètres, régulièrement espacés, d'un même cercle. Comme, cependant, il fallait ménager une ouverture au centre, pour le lanternon, on dut les amputer chacun, en leur milieu, d'une même portion et en recroiser les tronçons à un double niveau commun : l'un, de tension, en acier; l'autre, de compression, en béton, d'où 24 demi-portiques.

Cette disposition est schématisée par la figure 3, où, toutefois, pour plus de clarté, le nombre des portiques est ramené à 6 au lieu de 12, ce qui donne 12 demi-portiques au lieu de 24.

Ainsi dit, chaque demi-portique n'est pas une simple béquille plate, comme le laisserait penser la figure; il est constitué par une poutre horizontale, en béton précontraint, à poids en U, qui repose, par son extrémité libre, sur un pilier et se prolonge au-delà, en porte à faux une environ 2,25 m,

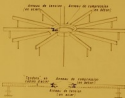


Fig. 3. — Représentation schématisée de la solution adoptée pour offrir le germe d'une couverture qui, bien que plane, oblige de tout pillar une aire circulaire de 58 m de diamètre. Pour plus de clarté, le nombre des portiques en béton précontraint supportant cette couverture, coupés en leur milieu par un anneau de tension doublé d'un anneau de compression, a été ramené de 24 à 6.

FIG. 8. — Tronçon des
 maçonneries au ras de
 terre, au pied de
 leur base, à l'intérieur de
 l'enceinte de terre.



La plus grande partie de la
 maçonnerie est restée en
 place, le reste au point de
 rupture de la culotte, avec
 un décalage de 1 mètre
 environ par le côté N. Les
 murs, construits de
 blocs de terre, ont été
 photographiés les jours 1
 et 2 par le capitaine B. Gauthier
 au centre des lignes à 10
 m. de la base, celle de la
 ligne N. du 11.

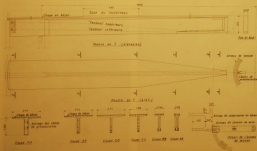


FIG. 9. — Intérieur, plan et coupe transversale d'une tranchée au ras de terre en deux
 parties. Les dimensions indiquées de chaque côté l'indiquent les dimensions
 de construction des parties de construction sans décalage, ainsi
 l'indiquent les crochets à l'extérieur de la tranchée, tandis que la construction, laquelle se
 trouve comme suspendue au-dessus du sol. Les dimensions indiquées des parties au sol
 montrent que la largeur des murs se contracte à partir de l'ouverture de construction
 jusqu'en 100, après quoi elle devient uniforme.



FIG. 6. — Vue en l'extrémité, au moment où l'on vient de couler le béton. On voit nettement les câbles, d'un diamètre de 12,5 mm, qui traversent les deux tronçons de précontrainte, les quels sont déjà mis en tension, au moment du remoulage, à l'aiguille central de béton en acier.



FIG. 7. (à droite). — Vue générale des éléments mis en tension et de leur fixation libre, malgré le vent.

pour déterminer, au sol, autour du tour d'essai de la gymnase, une large espace annulaire de service et de déplacement, platonné, lui, normalement. Ce porte-à-faux contribue à alléger le poids mort de l'ossature en sa partie centrale (fig. 2 et 5).

Comme on peut le voir sur la figure 3, les ailes des poutres en U n'ont pas même largeur de bout en bout. Cette largeur va croissant à partir de l'aiguille de compression, où elle est de 0,242 m jusqu'à environ sa longueur où elle atteint 2,44 m, pour ne plus changer ensuite jusqu'au pilier.

Pour alléger au maximum le poids mort des poutres, l'épaisseur de celles-ci n'a, uniformément, que 15 cm d'épaisseur, tout juste assez pour habiller latéralement les deux faisceaux, ou « tendons » post-tendus, de chacun sept câbles d'acier de 12,5 mm de diamètre, qui traversent longitudinalement et précontraindent chaque poutre (fig. 6). De leur ancrage arrière (au droit du recouvrement de la poutre à son pilier) à leur ancrage avant, à l'aiguille de tension en acier (fig. 8), les tendons sont changés obliquement de façon que l'ancrage avant se trouve plus bas que l'ancrage arrière (fig. 9). Il en résulte que la traction combinée des deux tendons de chaque poutre — une traction qui développe environ 230 000 kg — tend à soulèver l'aiguille de tension et que, en conséquence, toute l'ossature de la couverture est comme soutenue au-dessus du vide de la toiture par les deux paires

FIG. 10. — Vue intérieure de l'ossature métallique de l'un des piliers après sa mise en place, montrant les dispositifs de guidage imaginés pour les caissons en été de chaque pilier.



FIG. 11. — Détail montrant le dispositif de guidage installé au pied de chaque pilier pour faciliter la pose de la partie correspondante.

diamètre extérieure de l'entrouve a été limité à 4 m en chiffres ronds.

Comme le montre la photographie de la figure 4, le plafond cloisonné résultant du système de poutres et-lisses décrit, n'a pué aucun problème quant à la pose du dispositif de compression de la cloison intérieure, réglable en accordéon et totalement déplaçable. En outre, il a permis une excellente et commode répartition des luminaires, tout en procurant, de jour, de jolis effets d'éclairage dégradé, par diffusion entre les parties de la lumière admise au linteau, mais masquée à la vision directe par l'habillage des caissons de compression et de tension.

Les poutres précontraintes en U, en béton à 250 bars, ont été préfabriquées à environ 80 km du site et, bien que pesant 25 t pièce (fig. 12), transportées à pied d'œuvre au camion. Elles furent mises en place à l'aide d'un échafaudage cylindrique en tubes métalliques, dirigé au centre du gymnase, à l'aplomb des lattes ancrées de tension et de compression (fig. 11). Les figures 10 à 13 illustrent la technique de pose.

Comme le montre le vue générale (fig. 1), le gymnase n'est que la portion centrale d'un vaste bâtiment circulaire, dont la partie intérieure extérieure a pour le diamètre à 28,20 m. Cette partie extérieure, plus basse que la partie centrale, a été construite en béton armé et recouverte d'une



Fig. 20. — Vue générale de l'ensemble pendant le montage, entre les pontons en tôle ou la construction par-dessus eux. Les bois qui servent au-dessous des débris de la mise en place des pontons.



Fig. 21. — Vue de l'ensemble des pontons verticaux en tôle qui supporte les pontons en tôle ou l'ensemble de construction avec les armatures de traction et de compression.

de tendons, à la façon, comme toute, des tables d'un pont suspendu. La contrainte de traction qui s'exerce sur tout le pourtour de l'anneau de tension en acier est, naturellement, prise en charge par l'anneau de compression en béton, dont l'épaisseur est identique à celle des pontons (Fig. 20).

Afin de disposer d'espace de place pour ancrer les tendons à l'intérieur de l'anneau de traction, le



Fig. 22. — Vue de deux des pontons en tôle. Les pontons pèsent 25 t pièce; afin d'en soul lever 100 par palanquées à quelque 20 km de site de l'ouvrage.

CALCUL DES CONSTRUCTIONS A L'EFFONDREMENT

par W. KERKHOFF
Ingénieur A. I. G.

Professeur à l'Université Lovanium, Kinshasa (ex Léopoldville), Congo
Visiting Professor à l'Université officielle du Congo, Lubumbashi (ex Elisabethville)

Chapitre premier. Introduction

1. Nous nous occupons uniquement de constructions en matériaux ductiles tels que l'acier, dans lesquelles l'effondrement se produit par la formation d'un nombre de rotules plastiques suffisant pour transformer le système en une partie de celui-ci en un mécanisme.

Nous supposons connus les éléments du calcul élasto-plastique des constructions tels qu'ils sont donnés au tome I de notre ouvrage *Stabilité des constructions* (2).

Le but de la présente étude est de montrer au praticien, qui n'a en général pas le temps de faire de longs calculs, comment il peut déterminer rapidement les sections.

Pour le théoricien, nous montrerons comment en faisant l'opération deux ou trois fois on peut arriver à un prix minimum.

2. Equilibre indifférent

Au tome III de notre ouvrage *Existence des matériaux*, nous démontrons que lorsqu'un système est en équilibre indifférent et que nous lui donnons un déplacement virtuel simulé un début d'effondrement, nous avons :

$$W_v + W_s = 0 \quad (1)$$

formule dans laquelle :

W_v = travail effectuel par les charges extérieures par suite de ce déplacement virtuel,

W_s = travail interne absorbé par suite de ce déplacement virtuel (W_s , étant du travail absorbé, est négatif).

(1) Rappelons, du Professeur W. KERNER, l'école qui a été publiée récemment par *La Technique des Ponts* (numéros de novembre à septembre-octobre 1960) sous le titre : « Planchement d'ensemble d'un bâtiment à étages ».

(2) Rappelons que si la section est connue la valeur absolue de M_p est connue. Si la poutre est formée de parties à section variable, il est entendu que M_p varie d'une section à l'autre.

3. Rappel des conditions d'effondrement

Au tome I de notre ouvrage *Stabilité des constructions* nous montrons que pour obtenir l'effondrement par formation de mécanisme il faut que les trois conditions suivantes soient satisfaites.

a) Formation de rotules plastiques (c'est à dire de sections dans lesquelles le moment fléchissant M dans ces sections soit égal au moment plastique M_p (3) de ces sections) en nombre suffisant pour transformer le système en un mécanisme total ou partiel.

b) Que ce système avec ces rotules plastiques soit en équilibre indifférent sous l'action des charges.

c) Qu'entre les rotules non mentionnées il ne se forme pas d'autres rotules plastiques ou en d'autres termes que le moment fléchissant M soit inférieur au moment plastique des sections situées entre les rotules déjà mentionnées en a) (4).

Chapitre II. Détermination du mécanisme d'effondrement

§ 1. Marche générale

1. Dans les méthodes classiques, on se donne les profils et on détermine l'emplacement des rotules plastiques sous l'action des charges.

Ici nous choisissons à l'avance l'emplacement des rotules plastiques qui transforment le système en un mécanisme total ou partiel et nous déterminons les sections au droit de ces rotules plastiques et entre celles-ci. Nous développerons deux méthodes.

(3) Comme on chargeait progressivement le système il se pouvait que juste avant l'effondrement il se produise deux rotules plastiques en même temps, la condition c) ne doit pas toujours être satisfaites. En la satisfaisant on a un second cas d'échec.



FIG. 15. — Vue en élévation montrant l'œuvre de composition étant en place, la mise en œuvre des bandes de précontrainte des poutres en T.

dalle circulaire, bordée d'un parapet et soutenue par des poutres radiales en T, également précontraintes. L'ensemble (fig. 5 et 16) épouse la forme d'une rotonde très basse, au centre de laquelle émerge une épaisse tour polygonale — le gymnase — s'élevant sur un large et haut vestibule fermé en avant par un fronton dérivé en quatre

panneaux de béton coulé d'avance (fig. 2). Les arcs au vestibule sont latéraux.

Les photographies des figures 5 et 16 témoignent du souci artistique et esthétique qui a présidé aux aménagements et à la décoration des circulations et dépendances de l'ouvrage. Fermé comme il est sur l'extérieur, celui-ci, appareillé en briques, avec encadrements de béton figurant des poutres, a belle allure, mais il est d'un aspect sévère. Sans doute l'a-t-on voulu davantage temple du sport et cadre de manifestations éducatives (expositions, expositions d'œuvres d'art, etc.) que salle de fêtes, de bal et de théâtre, ce que, pourtant, il sera en certaines occasions au long de l'année.

♦♦

Pour cette réalisation originale, rendons hommage, non seulement à l'architecte Philip F. Meyer, de cabinet Max O. Ehrlich, de New York, mais aussi aux ingénieurs-construteurs Summers & McKie, aux ingénieurs-mécaniciens Frank E. Sullivan, ainsi qu'à l'entrepreneur général, l'Anderson Construction Co. (Richard Samolovitch, Directeur des travaux).

René Bascaris.



FIG. 16. — Vue d'un salon de réceptions, aux murs, des arcs d'élèves de la rotonde des beaux-arts.

Dès lors la détermination de $M_{A,E}$ peut se faire suivant l'une des deux méthodes suivantes.

A. Première méthode de détermination de $M_{A,E}$

Exprimons que sous l'action de SP_1 , SP_2 , SP_3 et SP_4 et des moments plastiques en F , G , H et D le système est en équilibre indifférent c'est-à-dire qu'en donnant le déplacement virtuel de la figure 1 on a :

$$\bar{W}_v + \bar{W}_l = 0.$$

Or

$$\bar{W}_v = SP_1 \cdot FF' - SP_2 \cdot GG' + SP_3 \cdot HH'$$

(FF' , GG' , HH' étant des quantités positives).

Notons que tous les déplacements peuvent être exprimés en fonction de FF' que nous nous donnons arbitrairement.

Calcul de \bar{W}_l . C'est la somme des travaux de $M_{A,E}$, $M_{B,D}$, $M_{C,D}$ et $M_{D,E}$.

Inclons AF' (Fig. 3).



Fig. 3.

Le travail de $M_{A,E}$ est $M_{A,E} \cdot (\alpha + \beta)$ et est négatif puisque c'est du travail absorbé.

Le travail de $M_{B,D}$ est (Fig. 4) : $M_{B,D} \cdot \gamma$ (négatif), et ainsi de suite.



Fig. 4.

Donc :

$$\bar{W}_l = - [|M_{A,E}| \cdot (\alpha + \beta) + |M_{B,D}| \cdot \gamma] + |M_{C,D}| \cdot \beta + |M_{D,E}| \cdot \delta.$$

Or α , β , γ , δ peuvent s'exprimer en fonction de FF' et d'après les formules (2), (3) et (4) $|M_{A,E}|$, $|M_{B,D}|$ et $|M_{C,D}|$ peuvent s'exprimer en fonction de $|M_{A,E}|$.

Dès lors la formule $\bar{W}_v + \bar{W}_l = 0$ nous donne la valeur de $|M_{A,E}|$.

B. Deuxième méthode de détermination de $M_{A,E}$

Inclons AF' (Fig. 5).



Fig. 5.

Une équation de moment autour de A nous donne T_A en fonction de $M_{A,E}$.

Inclons $B'D$ (Fig. 6).



Fig. 6.

Une équation de moment autour de B nous donne T_B en fonction de $M_{B,D}$.

Inclons $C'D$ (Fig. 7).

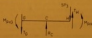


Fig. 7.

Une équation de moment autour de C nous donne T_C en fonction de $M_{C,D}$.

Inclons $D'E$ (Fig. 8).



Fig. 8.

Une équation de moment autour de D nous donne la valeur de T_D et par conséquent celle de $M_{A,E}$.

Ayant cette valeur de $M_{A,E}$, nous pouvons déterminer le profil à mettre en œuvre des différents rotules plastiques.

De plus nous pouvons dessiner le ligne des M dans un tronçon quelconque.

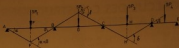


Fig. 1.

§ 2. Première méthode

1. Soit, pour fixer les idées, une poutre continue (Fig. 1) sollicitée par des charges P_1, P_2, P_3, P_4 .

Multiplicons celle-ci par le coefficient de sécurité $S = 1,7$ et calculons la poutre à l'effondrement sous l'action des charges SP_1, SP_2, SP_3, SP_4 .

Choisissons l'emplacement des rotules en F, G, H et D de façon à transformer le système en un mécanisme (la poutre DE est isostatique).

Dès lors la condition a) est satisfaite.

Pour qu'effectivement en F, G, H et D il se produise des rotules plastiques sous l'action de SP_1, SP_2, SP_3 et SP_4 nous allons déterminer les sections en F, G, H et D en exprimant que l'épave doit être indifférent (voir plus loin quelques détails à ce sujet).

Dès lors la condition b) est satisfaite et nous connaissons la valeur des moments plastiques en F, G, H et D.

À ce moment nous pouvons tracer la ligne des M et choisir les sections entre les rotules de façon que partout M soit inférieur au M_p de la section. Dès lors la condition c) est satisfaite.

2. Détermination des moments et sections en F, G, H et D

Nous avons vu que sous l'action de SP_1, SP_2, SP_3 et SP_4 , il faut produire en F, G, H et D des moments plastiques $M_{p,F}, M_{p,G}, M_{p,H}$ et $M_{p,D}$. À cet effet nous pouvons par exemple $[M_{p,F}]$ comme fonction et nous écrire que :

$$[M_{p,F}] = q_1 [M_{p,G}] \quad (2)$$

$$[M_{p,G}] = q_2 [M_{p,H}] \quad (3)$$

$$[M_{p,H}] = q_3 [M_{p,D}] \quad (4)$$

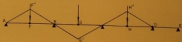


Fig. 2.

formules dans lesquelles q_1, q_2 et q_3 sont des coefficients positifs que nous nous imposons. (Faisons remarquer que l'on convient pour une raison d'économie on aura intérêt à choisir $q_1 = q_2 = q_3 = 1$). Sous l'action de SP_1, SP_2, SP_3 et SP_4 le système doit être en équilibre indifférent.

Donnons au système un déplacement virtuel simultané en déduit d'effondrement.

Sous obtiendrons soit la figure 1 soit la figure 2. Pour savoir si l'effondrement se fera suivant la figure 1 ou suivant la figure 2, exprimons le travail des forces extérieures dans l'un et l'autre cas.

Dans le premier cas il est :

$$SP_1 \cdot FF' - SP_2 \cdot GG' + SP_3 \cdot HH'$$

(FF', GG', HH' étant comptés positivement).

Il est évident que lors de l'effondrement le travail des forces extérieures doit être positif puisque c'est une partie de ce travail qui est convertie en énergie cinétique, l'autre partie étant absorbée par les rotules.

C'est cette condition qui nous dira si l'effondrement se fera suivant la figure 1 ou suivant la figure 2.

Supposons, pour fixer les idées, que l'effondrement se fasse suivant la figure 1.

À ce moment nous pourrions déterminer les signes des moments plastiques $M_{p,F}, M_{p,G}, M_{p,H}$ et $M_{p,D}$.

Pur exemple, comme suivant AFB (Fig. 1) la fibre inférieure en F est étendue, c'est que $M_{p,F}$ est négatif (en utilisant les conventions de signes de nos ouvrages Résistance des matériaux et Stabilité des constructions).

De même $M_{p,G} > 0, M_{p,H} < 0$ et $M_{p,D} > 0$.

2. AVANTAGE DE LA SOLUTION

a) Nous devons choisir uniquement l'emplacement des rotules ordinaires transformant le système en un système isostatique.

Nous venons à calculer ce système sous l'action de SP_1 , SP_2 , ... ce qui est économiquement facile.

Nous venons d'autre part qu'à moins d'avoir fait un choix très inadapté de l'emplacement de ces rotules, la solution sera économique et qu'on peut d'ailleurs très facilement ajuster l'emplacement de ces rotules si le premier choix n'a pas été très judicieux.

b) Si nous mettons réellement des rotules ordinaires aux endroits choisis (ce qui n'est pas indispensable comme nous venons plus loin), il est évident que dès le début de la mise en charge (en faisant croître progressivement SP_1 , SP_2 , ... de zéro à leur valeur finale) le système travaille en système isostatique et on doit des rotules $R=0$.

Nous examinons donc parfaitement l'emplacement de la rotule plastique qui se forme lors de l'affaissement, ce qui n'est pas le cas dans les autres méthodes dans lesquelles on ne sait pas automatiquement quelle est la rotule qui se forme en dernier lieu ni l'ordre de formation des différentes rotules plastiques.

c) Nous venons plus loin quelques autres avantages qui résultent de ce système isostatique à rotules ordinaires.

Chapitre III. Applications

1. Comme les méthodes décrites au chapitre II sont toutes théoriquement bonnes mais que pour trouver une solution économique il faut avoir un peu de flair, nous donnons en détails les calculs établis par chacune des méthodes sur un exemple numérique.

2. Exemple numérique n° 1

Soit (Fig. 10) une poutre continue sollicitée par les charges de sécurité de 5 t en B et de 4 t en E.



Fig. 10.

Les charges qui produisent l'affaissement sont :

$$\text{en B : } 1,7 \times 5 = 8,5 \text{ t,}$$

en E :

$$1,7 \times 4 = 6,8 \text{ t.}$$

Comme, par flair, nous considérons que les moments sont les plus grands en B et en E, mettons les rotules plastiques en ces endroits.

Nous transformons ainsi la poutre BC en un mécanisme (Fig. 11).

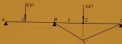


Fig. 11.

Donnons au système un déplacement virtuel simulé l'affaissement.

Il est évident que EE' doit être dirigé vers le bas (et non vers le haut) puisque (Fig. 11) la seule force qui effectue du travail dans ce déplacement est celle qui se trouve en E et que le travail T_0 doit être positif, ce qui est vrai quand EE' a la même sens que la force (5,8 t).

Cela nous montre que lors de l'affaissement (Fig. 12), les fibres inférieures en B sont étirées (donc $M_{B,2} < 0$) et que les fibres supérieures en B sont étirées (donc $M_{B,1} > 0$).

En suivant la méthode du § 2, imposons nous $q_1 = 1$.

Nous avons :

$$|M_{B,1}| = |M_{B,2}| = |M_E|.$$

C'est une solution économique car dans et sur la poutre BC sans alors prismatique.

Calculons M_E .

A cet effet isolons BE. Nous obtenons la figure 12. En B nous mettons un M_E rotatif de l'extension dans les fibres supérieures et en E un M_E qui agit de l'extension dans les fibres inférieures.



Fig. 12.

Nous choisissons le profil entre les rotules de façon à ce que partout M soit inférieur ou M_0 de la section.

3. Remarque *

Au n° 1 nous avons choisi l'emplacement des rotules en F, G, H et B (Fig. 1) de façon à transformer le système en un mécanisme à peu près total.

Nous aurions pu tout aussi bien transformer le système en un mécanisme partiel.

Nous aurions pu aussi transformer le système en un mécanisme partiel en choisissant une rotule plastique en F et une autre en B (Fig. 2).



Fig. 2.

Nous aurions pu déterminer $M_{G,1}$ et $M_{B,2}$ par un procédé analogue au précédent.

Depuis lors dans ce cas le système $MBGF$ reste hyperstatique.

Afin d'éviter de devoir calculer un système hyperstatique il vaut donc mieux transformer le système en un mécanisme total ou tel que le reste de la construction soit isostatique.

4. Application au cas ordinaire

Nous voyons que par cette méthode le seul choix que nous ayons dû faire est l'emplacement des rotules plastiques transformant le système (ou une partie de celui-ci) en un mécanisme ainsi que le rapport q des moments plastiques.

Tout le reste s'en déduit par la statique.

Si le choix de l'emplacement des rotules plastiques a été malheureux, le seule chose qui peut en résulter c'est que soit les M_0 au droit des rotules plastiques, soit les M_{max} entre ces rotules soient trop élevés et que de ce fait la construction ne soit pas économique.

Cependant avec un peu de flair, on arrive facilement à une construction économique.

5. Détermination de la solution

Nous avons dû choisir à l'avance l'emplacement des rotules transformant le système en un mécanisme partiel ou total.

C'est est indispensable car c'est de ce choix que résulte :

- le genre de mécanisme de rupture;
- le sens des déplacements lors de l'effondrement (de façon à ce que $R_0 > 0$), ce qui donne le signe des M_0 et ce qui permet dans la suite de déterminer la ligne des M .

§ 3. Deuxième méthode

1. ROTULES ORDINAIRES

Choisissons les emplacements 1, 2, 3, ... des rotules plastiques. Soient $M_{n,1}$, $M_{n,2} = q M_{n,1}$, $M_{n,3} = q^2 M_{n,1}$, ... les moments plastiques dans ces sections.

Au § 2 n° 2 nous avons choisi $q_1, q_2, \dots \neq 0$.

Nous pourrions évidemment choisir

$$q_1 = q_2 = \dots = 0.$$

Dans ce cas :

$$M_{n,1} \neq 0$$

$$M_{n,2} = M_{n,3} = \dots = 0.$$

Cela correspond au cas où nous mettrions dans les sections 2, 3, ... des rotules ordinaires.

Dans ce cas nous ne devons plus déterminer le signe de $M_{n,1}$, $M_{n,2}$, ... puisque ces moments sont nuls.

Nous ne devons donc plus transformer le système en un mécanisme (ce qui servait à déterminer le signe des différents M_0) et il nous suffit de choisir l'emplacement des rotules ordinaires 2, 3, ... transformant le système (ou une partie de celui-ci) en un système isostatique.

Par conséquent, pour la facilité des calculs, nous choisirons l'emplacement des rotules 2, 3, ... de façon à transformer le système total en un système isostatique.

Nous calculerons ce système sous l'action de SP_1, SP_2, \dots et nous choisirons les profils de façon à ce que partout, sauf en un endroit $M' < M_0$ et que dans une section $M = M_0$.

C'est dans cette dernière section que se produira la rotule plastique qui transformera le système en un mécanisme (*).

(*) Cela suppose évidemment qu'en 2, 3, ... nous ayons mis réellement des rotules ordinaires et que nous n'arrivons pas autrement économiquement à ce que nous verrons plus loin.

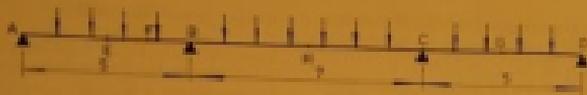


Fig. 16.

Si AB était une poutre appuyée aux deux bouts, la ligne des M serait parabolique et en E (milieu de AB) :

$$M = -\frac{p l^2}{8} = -0,13 \text{ tm.}$$

Nous obtenons la figure 17.



Fig. 17.

Économiquement parlant nous avons intérêt à ce que :

$$M_2 = -M_3.$$

A cet effet, posons

$$EE' = \frac{E E''}{l} = -1,04 \text{ tm}$$

et traçons la droite AE'E qui servira de repère. Nous avons

$$M_2 = EB = 2 E'E = EE' = -M_3.$$

Ce repère coupe la parabole en F correspondant au point E.

C'est là que M sera nul. Ainsi mettons en F une rotule ordinaire (FB = 1,06).

Mettons de même une rotule ordinaire en G (CG = 1,06).

Nous avons ainsi transformé la poutre ABCD en un système Cantilever.

Cela revient évidemment au même de calculer ce système isostatique à l'effondrement sous l'action de SP en se servant des méthodes élastiques sous l'action de $p^{(1)}$.

Faisons un calcul élastique sous l'action de $p = 1,1/4$.

(1) Était donné que la détermination du calcul élastique dans et la détermination de δ sont faites pour se servir de modifier le calcul dans le cas de système isostatique.

$$M_2 = -\frac{1,1 \cdot 7^2}{8} + 2,08 = -4,14 + 2,08 = -2,06 \text{ tm.}$$

Nous constatons donc que :

$$M_2 = -2,06 \text{ tm; } M_3 = 2,06 \text{ tm; } M_4 = -2,06 \text{ tm.}$$

Pour obtenir une construction légère, donc économique au point de vue poids il faudra prendre une poutre prismatique renforcée dans la partie médiane de BC.

Une telle solution est très valable mais pourrait être désavantageuse au point de vue main-d'œuvre.

Aussi tâchons d'améliorer la situation par un choix plus judicieux de l'emplacement des rotules F et G.

Nous pourrions par exemple nous imposer

$$M_2 = -M_3 = -M_4$$

c'est-à-dire

$$M_2 = -\frac{p l^2}{14} = -2,07 \text{ tm.}$$

Dans $F_1 B = 1,07$ tm d'où nous traçons $AE_1 E_1$ qui coupe la parabole en F_1 qui donne le nouvel emplacement de la rotule.

Dans ce cas :

$$M_2 = -1,7 \text{ tm; } M_3 = 3,07 \text{ tm; } M_4 = -3,07 \text{ tm.}$$

Nous constatons que dans ce cas les parties AF_1 et DG_1 sont trop fortes et on pourrait réduire la section de ces parties.

Il est évident que d'autres facteurs peuvent entrer en jeu (par exemple la hauteur libre sous la travée centrale).

Chapitre IV. Renforcement du système

1. Théorème I

Soit un système non redondant (NR) s'effondrant par la formation de rotules plastiques en A, B, C, ... sous l'action de MP_1, MP_2, \dots

Renforçons le système entre les rotules. Nous obtenons un système semi-redondant (SR).

Nous allons démontrer que le système (SR) pliera sous l'action des mêmes charges MP_1, MP_2, \dots et suivra le même mécanisme que le système (NR).

Une équation de moment autour de B donne :

$$(6,8 - T_2) 3 - 2 M_2 = 0$$

d'où :

$$M_2 = 1,5 (6,8 - T_2)$$

Insérons AB. Nous obtenons la figure 13.



Fig. 13.

Une équation de moment autour de C donne :

$$1,5 (6,8 - T_2) - 4 T_2 = 0$$

d'où :

$$T_2 = 1,96 t.$$

Dans :

$$M_2 = 1,5 (6,8 - 1,96) = 7,4 \text{ tm.}$$

Choisissons en B et en C un profil ayant un moment plastique de 7,4 tm.

Comme on le verra sur M on sera surpris par ces résultats.

Nous verrons que le moment sera maximum en B et calculons M en cet endroit.

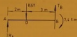


Fig. 14.

Insérons AB (Fig. 14). Une équation de moment autour de B donne :

$$5 R_2 - 6,8 \times 3 + 7,4 = 0$$

d'où

$$R_2 = 3,62 t.$$

Insérons AD (Fig. 15) nous trouvons :



Fig. 15.

$$M_2 = -3,62 \times 2 = -7,24 \text{ tm.}$$

Nous choisissons pour AB un profil tel qu'en B

$$|M_2| < M_{p,2}$$

Dans et sur la longueur ABC nous mettons un profil prismatique tel que son $|M_2| = 7,4 \text{ tm}$, il se brisera en B et en C des rotules plastiques et ailleurs M sera partout inférieur à $|M_2|$.

La solution sera économicque car :

a) le profil est prismatique et par conséquent le prix de la main-d'œuvre de fabrication est faible;

b) comme en D, M est à peu près égal à $|M_2|$ la poutre AB n'est pas beaucoup trop forte.

Nous voyons donc qu'avec un peu de flair nous avons pu choisir convenablement l'emplacement des rotules plastiques.

3. Exemple numérique n° 2

Pretons le même exemple qu'en n° 1 (Fig. 10) et étudions la question par la méthode décrite en 1.3.

Comme par flair nous par le calcul élastique, nous savons que M_2 sera positif et M_3 sera négatif et que pour obtenir l'économicque nous avons intérêt à ce que $|M_2| = |M_3|$, comme la ligne des moments fléchissants de B à E est une droite, le moment fléchissant en F (à mi-distance de BE) sera nul.

Ainsi effectuons-nous en F une rotule ordinaire. Le système ABC est donc une poutre Casillevre.

En calculant celle-ci nous l'actions des charges produisant l'effondrement nous obtenons :

$$M_2 = -7,24 \text{ tm; } M_3 = 7,4 \text{ tm; } M_4 = -7,4 \text{ tm,}$$

c'est-à-dire les mêmes résultats qu'en 1.2.

Nous constatons qu'avec bien peu de flair nous avons trouvé une solution très économicque en faisant simplement le calcul d'un système élastique.

Nous verrons plus loin qu'il n'est pas indispensable de mettre réellement une rotule en F car en ne la mettant pas, en enlevant le système en F et nous démontrons plus loin que ce système renforcé est au moins aussi résistant que le système non renforcé (cela résulte d'ailleurs du résultat du calcul élastique en n° 2 pour la poutre ne possédant pas de rotule en F).

4. Exemple numérique n° 3

Soit une poutre continue sur quatre appuis chargée uniformément de 1 t/m (Fig. 16).

4. Corollaire I

Nous avons vu plus haut qu'en nous assignant l'emplacement des rotules et en renforçant la construction entre les rotules de façon à ce que partout $M < M_p$, nous avions une construction supportant les charges SP_1, SP_2, \dots

Il est parfois économiquement avantageux de prolonger ces renforcements non seulement entre les rotules mais en englobant celles-ci (par exemple en prévoyant une poutre prismatique plus forte que celle qui avait été prévue en première lieu).

En opérant de la sorte on est toujours en sécurité en adoptant comme charge d'effondrement (comme valeur de k), celle qui provoque l'effondrement du système non renforcé.

On pourrait évidemment tirer parti du fait qu'on a renforcé certaines rotules pour porter certains allègements ailleurs.

Dans ce cas il faudrait recommencer le calcul en choisissant pour les rotules soit les anciens emplacements si à la lumière du premier calcul on constate qu'ils ont été convenablement choisis, soit d'autres emplacements et en partant des moments plastiques relatifs aux sections qui correspondent aux profils que l'on suppose prévoir définitivement.

5. Corollaire II

Soit un système hyperstatique. Mettons, par la pensée, des rotules fictives en certains endroits pour transformer le système hyperstatique en système isostatique.

Calculons ce dernier système sous l'action de forces SP_1, SP_2, \dots ($S =$ coefficient de sécurité) et choisissons les profils de façon à ce que partout $M < M_p$, sauf en un endroit où l'on peut tolérer $M = M_p$.

Et après le théorème précédent, le système hyperstatique peut être considéré comme étant le système isostatique dans lequel on aurait renforcé les rotules et rendu par conséquent en moins aux mêmes charges SP_1, SP_2, \dots que ce système isostatique.

Chapitre V. Coefficient de sécurité 5

On part du principe que pour une poutre isostatique, le calcul élasto-plastique donne le même dimensionnement que le calcul élastique étant donné que le coefficient de sécurité (1,55) utilisé pour le calcul élastique est un coefficient qui a fait ses preuves.

Dès lors le coefficient de sécurité S à utiliser dans le calcul élasto-plastique sera $1,55 \times \frac{M_p}{M_e}$, formule dans laquelle M_e est le moment élastique et M_p le moment plastique, c'est-à-dire celui qui correspond à un diagramme triangulaire de moments suivant lequel $\sigma = R_e$ à la fibre extrême seule.

Comme $\frac{M_p}{M_e} = 1,32$ pour les poutres continues, on prendra

$$S = 1,55 \times 1,32 = 2,04.$$

C'est ce coefficient que l'on admettra également pour le calcul des constructions hyperstatiques (au moins entendu pour les prismatiques d'isostabilité).

Chapitre VI. Succession des calculs

1. Soit à calculer un système hyperstatique sollicité par des charges P_1, P_2, P_3, \dots

Multiplicons ces charges par le coefficient de sécurité $S = 1,7$ pour obtenir les charges SP_1, SP_2, SP_3, \dots qui peuvent produire le ruine.

2. Si le système est un fais hyperstatique, nous nous donnons au plus $n + 1$ rotules choisies le plus convenablement possible de façon à transformer le système en un mécanisme partiel ou de préférence total.

3. Nous nous donnons les rapports q des moments plastiques aux différentes rotules. Très souvent nous prenons $q = 1$.

4. Nous choisissons un mécanisme un déplacement virtuel correspondant à un défilé d'effondrement c'est-à-dire à un déplacement tel que le travail des forces extérieures soit positif.

Nous en déduisons ainsi le sens de M_e aux différentes rotules plastiques.

5. Ayant le sens de M_e , nous pouvons déterminer la valeur de M_e de façon à ce que sous l'action des M_e et des charges SP_1, SP_2, SP_3, \dots le système soit en équilibre indifférent. Cette détermination peut se faire soit en exprimant que $\sum \delta_i + \sum \delta_j = 0$ (δ_i est négatif) soit en incluant chaque partie du système (ou certaines parties de celui-ci) et en exprimant l'équilibre de celles-ci.

6. Ayant ainsi la valeur des M_e , il faut déterminer la ligne des M entre les rotules et déterminer entre les rotules un profil prismatique ou non tel que

En effet, prenons si le système (SR) avec les rotules en A, B, C vérifie les trois critères d'équilibre sous l'action de kP_1, kP_2, kP_3, \dots

a) Comme le système (SR) est devenu un mécanisme avec les rotules en A, B, C, ... le système (SR) avec rotules en A, B, C, ... est également un mécanisme.

Le critère a) est donc satisfait.

b) Comme les M_i sont rotules du système (SR) sont les mêmes que ceux du système (SR), le système (SR) sera en équilibre indifférent sous l'action des mêmes charges kP_1, kP_2, \dots

Par conséquent, sous l'action de ces charges il se produit effectivement des rotules plastiques en A, B, C, ... et comme le système est en équilibre indifférent, la condition b) est satisfaite.

c) Comme sous ces charges kP_1, kP_2, \dots et les moments plastiques aux rotules, M est inférieur à $(M_p)_{\text{max}}$ (moments plastiques du système non renforcé), M sera a fortiori inférieur à $(M_p)_{\text{max}}$.

Donc pour le système (SR) la condition c) est satisfaite.

Comme les trois conditions sont satisfaites, la ruine du système (SR) se produira sous l'action des mêmes charges et suivant le même mécanisme que celui du système (SR).

2. Théorème II

Soit un système non renforcé (SR), s'effondrant par la formation de rotules plastiques en A, B, C, ... sous l'action de kP_1, kP_2, \dots

Renforçons le système au droit d'une ou de plusieurs rotules (A, B, ...).

Nous obtenons un système (RR) à rotules renforcées.

Nous allons démontrer que le système (RR) périt sous l'action de charges kP_1, kP_2, \dots et que $k' > k$.

En effet deux cas peuvent se présenter :

Premier cas

Le système (RR) périt par la formation de rotules aux mêmes emplacements que le système (SR).

Dans ce cas le système (RR) périt suivant le même mécanisme que le système (SR).

Donnons un déplacement virtuel identique au système (SR) qu'un système (SR) (déplacement correspondant à un début d'éroulement).

Nous aurons, pour le système (RR) :

$$W_{R,0} = [R_1]$$

et pour le système (SR) :

$$W_{S,0} = [S_1]$$

Or comme certains rotules sont renforcées : $W_{R,0}$ sera supérieur à $W_{S,0}$.

Donc :

$$W_{R,0} > W_{S,0}$$

Donc, si p est le déplacement virtuel (le même dans les deux systèmes) :

$$\int k' P_i \delta p_i > \int k P_i \delta p_i$$

Donc

$$k' > k.$$

Deuxième cas

Le système (RR) périt par la formation de rotules à d'autres emplacements que le système (SR) (par exemple en A', B', C', ...).

Dans ce cas considérons le système (SR) et chargeons-le progressivement.

Par hypothèse il périt par la formation de rotules en A, B, ... sous l'action de charges kP_1, kP_2, \dots C'est dire que sous l'action de kP_1, kP_2, \dots M est inférieur à M_p entre les rotules et notamment en A', B', C', ...

Déformons (*) la poutre en A', B', C'.

Tant qu'en ces points $M_i > M$ rien n'est changé. Nous pouvons donc déformer cette poutre en A', B', C', ... sans affecter la ligne des M jusqu'à atteindre $M_i = M$ en A', B', C', ...

Nous obtenons ainsi une poutre renforcée (R) résistante aux mêmes charges que la poutre (SR).

Renforçons la poutre (R) en A, B, C, ... nous obtenons la poutre déformée, renforcée (DR).

D'après le théorème I la poutre (DR) s'effondre sous la même charge que la poutre D c'est-à-dire sous l'action de kP_1, kP_2, \dots et cela par formation de rotules en A', B', C', ... Mais par hypothèse la poutre (RR) s'effondre également par formation de rotules en A, B, C, ...

Donc les systèmes (RR) et (DR) s'effondrent suivant le même mécanisme.

D'après le premier cas ci-dessus le système (RR) s'effondre sous l'action de charges kP_1, kP_2, \dots et $k' > k$.

3. Conclusion

Une poutre renforcée en certains endroits supportera toujours une charge au moins égale à celle d'une poutre non renforcée.

(*) « Déformons » est un beléisme que l'on pourrait remplacer par : « Donnons la substance » de la poutre, dans le cas présent en déformant la section en A', B', C'.

si sa première intuition a été erronée et on pourra l'améliorer en faisant un second calcul.

En fait cela revient à faire un calcul par approximations successives et, comme nous l'avons souligné à maintes reprises, nous préférons ce genre de calculs à un calcul direct mais long.

Chapitre VII. Calcul plastique des poutres en treillis hyperstatiques

§ 1. Préliminaires

1. But

Dans le calcul élasto-plastique d'une poutre en treillis, on suppose que la ruine se produit lorsque un nombre suffisant de barres sont entrées en plasticité pour transformer le système en un mécanisme partiel ou total.

En d'autres termes, il y aura ruine lorsque $n = \frac{N}{N_0}$ aura atteint la limite élastique R , dans un nombre suffisant de barres, pour transformer le système en un mécanisme partiel ou total.

Cela étant, on pourrait calculer le système d'une barre analogue à une poutre à ligne pleine et celui de l'affaissement par formation d'un mécanisme.

2. Dangers

Dans le cas d'une poutre à ligne pleine nous avons vu qu'il était possible qu'une rotule se forme au cours de la mise en charge et disparaisse par la suite.

En d'autres termes, il a pu se former des rotules momentanées qui disparaissent en augmentant la charge.

De même dans une poutre en treillis il se pourrait que lors du chargement une barre se soit plastifiée puis déplastifiée.

Ce danger n'est peut-être pas très grave⁽¹⁾ mais cette barre allongée transforme le système en un système qui peut être hyperstatique et qui n'est pas identique à celui qui est proposé.

D'autre part il y a un danger beaucoup plus grave, c'est que, au cours du chargement, certaines barres comprimées subissent des efforts répétés à cause que l'on calcule lors de la ruine.

(1) En ce fait cette barre sera soit un allongement permanent. Cela ne présente aucun inconvénient lors de la ruine mais de ce fait le système hyperstatique avant la ruine n'est plus le même que le système proposé et il se pourrait que de ce fait au cours du chargement une barre puisse fléchir dans ce système instable.

Il se pourrait donc que lors du chargement une barre comprimée atteigne la charge critique N_0 , alors que le calcul n'a pas décelé ce phénomène.

On pourrait évidemment faire le raisonnement suivant :

Si cette barre tend à fléchir et si on augmente la charge

a) ou bien l'effet N dans cette barre continue à être égal à N_0 et la barre se déforme (dilatée par flexion) de sorte que les deux extrémités des extrémités de la barre se rapprochent. Dans ce cas il n'y a pas un grave danger puisque le phénomène est similaire à un raccourcissement plastique sous charge constante.

b) ou bien, par suite de la déformation, la force portante N diminue, ce qui fausse le calcul et ce qui pourrait, dans certains cas, mettre la poutre en danger.

Nous verrons que ce phénomène qui n'est pas décelé par le simple calcul à l'affaissement peut cependant être rendu peu probable en adoptant les méthodes décrites plus loin.

Le danger existe cependant⁽²⁾.

Malgré cela, nous allons décrire la méthode de calcul plastique car dans certains cas elle pourra être utilisée sans danger et dans d'autres elle pourra servir de calcul d'avant-projet.

§ 2. Détermination des barres plastifiées

1. Conservons un arc

Si N est l'effort de traction dans une barre quelconque de section S , la barre se plastifiera sous l'action de

$$N = N_0 = \sigma R S,$$

il y aura début d'affaissement lorsque sous l'action de SP_1, SP_2, \dots les trois conditions suivantes seront satisfaites :

- $N = N_0$ dans un nombre de barres élastiques tel que le système soit transformé en un mécanisme partiel ou total;
- le système sera en équilibre indifférent;
- dans les barres autres que celles qui seront à former le mécanisme il faut que $N < N_0$ (pour les barres tendues) et $N > N_0$ pour les barres comprimées⁽³⁾.

(2) Nous ne nous préoccupons pas de ce danger dans le calcul élasto-plastique d'une poutre à ligne pleine mais dans ce cas il est beaucoup moins grave.

(3) Nous verrons cependant plus loin que, par nature de choses, cette condition sera légèrement modifiée.

partiel M soit inférieur à M_0 de la section envisagée.

2. Le système ainsi conçu est théoriquement bon mais il faut l'examiner au point de vue « poids ». Il se peut qu'économiquement parlant on ait avantage à renforcer certaines parties bien que M soit partiellement inférieur à M_0 .

Si ces parties à renforcer sont en dehors des rotules plastiques le calcul ci-dessus reste inchangé.

Si on a avantage à renforcer certaines rotules, nous savons qu'en portant ces renforcements le système pourra supporter des charges kP_1 , kP_2 , ... avec $k > 2$ de sorte que nous aurons toute sécurité en adoptant SP_1 , SP_2 , ...

3. Si cependant nous voulons gagner du poids ou réduire la main-d'œuvre nous pourrions tirer parti de nos renforcements en examinant la possibilité de réduire certaines sections.

Nous ferons cela en ayant sous les yeux la ligne des M .

4. Enfin, un point à ne pas perdre de vue, c'est d'examiner si le système ne présente aucune instabilité locale ou d'ensemble.

Il y a lieu d'examiner cette question à fond, de mettre éventuellement les renforts nécessaires ou de tenir localement certaines membrures comprimées dans certaines zones.

Il y a lieu de calculer les instabilités (flambement, collement, etc.) en adoptant les coefficients de sécurité adéquats (voir nos ouvrages *Flambement rotulées*, *sharpened* et *spatial*, les tomes IV et V de *Résistance des matériaux* et les tomes I et II de *Stabilité des constructions*).

Nous faisons remarquer que même en examinant ces phénomènes d'instabilité — au moment de la mise en formation de rotules plastiques —, rien ne prouve que certains phénomènes d'instabilité n'aient pu se produire sous une charge inférieure à la charge de rupture élasto-plastique. En effet, certaines membrures pourraient très bien être ébranlées lors de l'effondrement par renversement et être comprimées sous une charge inférieure à celle qui produit les rotules plastiques.

En général, lorsqu'il s'agit de poteaux ou de poutres à lisse pleine pour lesquelles la résistance à la torsion est grande, il n'y a pas de danger.

Il pourrait cependant en être autrement s'il s'agit d'une poutre en treillis pour laquelle un tronçon de membrure ou une diagonale pourrait être comprimée lors de la mise en charge alors

qu'elle sera soit étirée soit peu comprimée lorsque toutes les rotules se sont formées. Aussi faut-il étudier ces poutres en treillis avec beaucoup de soin.

10. Informations

Il se pourrait que la déformation soit intolérable et soit parfois telle que la sollicitation en soit modifiée.

C'est pour cette raison qu'à l'heure actuelle les bâtiments à étages non tenus latéralement ne sont pas calculés « à l'effondrement ».

Nous considérons cependant que par le procédé précédent nous pourrions tolérer la formation de mécanismes partiels à droite et à gauche dans l'ensemble. Nous réaliserons un gain partiel en poids.

11. Conclusion

De tout ce qui précède le praticien qui n'a en général pas le temps de faire de longs calculs mais qui par contre a acquis le flair nécessaire pourra se donner l'emploiement de rotules suivant son appréciation et suivant les directives décrites ci-dessus.

Il pourra s'aventurer pour obtenir soit un mécanisme total, soit plusieurs mécanismes partiels, soit certains mécanismes plus certains systèmes de préférence élastoplastiques.

Il aura peut-être avantage à mettre des rotules ordinaires aux endroits où il sait que M sera petit et à transformer ainsi le système en un système élastoplastique.

Il aura en tête qu'en se donnant aux rotules des valeurs M_0 plus petites que celles qui correspondent au profil final qu'il mettra en œuvre aux rotules et en faisant son calcul avec ces valeurs il aura un surplus de sécurité (*). En un mot il gagnera du temps et du poids vis-à-vis d'un calcul élastique même s'il ne pousse pas les calculs à fond de façon à obtenir le gain maximum de poids.

Le praticien doit souvent envisager cet aspect du problème et c'est surtout pour lui que nous avons tenu à exposer la question sous cet angle.

Nous espérons d'autre part que cette théorie aide à comprendre et à appliquer certaines d'acquiescer plus facilement ce flair absolument indispensable de la construction.

Par cette théorie on pourra vérifier rapidement

(*) Par exemple en supposant $M_0 = 0$ c'est-à-dire en supposant qu'en certaines sections il y a des rotules ordinaires.

que celui du système (NR). (Voir cependant la remarque suivante qui restreint cette affirmation).

2. Remarques

Le raisonnement précédent semble bon mais n'est cependant pas rigoureux. En effet, il se pourrait très bien qu'en enveloppant une barre et en chargeant progressivement, une barre (voisine de celle qui a été renforcée) soit soumise à un effort supérieur à celui qui équilibrait dans le système non renforcé (puisque le système est hyperstatique) et atteigne la limite plastique ou pire, si elle est comprimée, atteigne la charge critique avant que le mécanisme ne se forme.

3. Introduction II

Soit un système non renforcé (NR) s'effondrant par plastification des barres 1, 2, 3, ... sous l'action de MP_1, MP_2, \dots

Renforçons certaines barres du mécanisme. Nous obtenons un système renforcé R.

Nous allons démontrer que le système (R) périt sous l'action des charges MP_1, MP_2, \dots et que $R' > R$ (1).

En effet deux cas peuvent se présenter.

Premier cas

Le système (R) périt par formation des mêmes barres plastifiées que le système (NR).

Dans ce cas le système (R) périt sous la même mécanisme que le système (NR).

Donnons un déplacement virtuel identique au système (R) qu'au système (NR) (déplacement correspondant à un début d'écroulement).

Soit α l'allongement d'une barre plastifiée par suite de ce déplacement.

Nous avons, pour le système (NR) :

$$\bar{W}_{NR} = \sum W_i = \sum N_i \alpha$$

et pour le système (R) :

$$\bar{W}_{R'} = \sum W'_i = \sum N'_i \alpha$$

Or, comme certaines barres du mécanisme sont renforcées, certains N'_i sont supérieurs au N_i , donc

$$\sum N'_i \alpha > \sum N_i \alpha.$$

Donc

$$\bar{W}_{R'} > \bar{W}_{NR}.$$

Donc

$$\sum MP'_i > \sum MP_i.$$

Donc

$$R' > R.$$

(1) Moyennant la même restriction que celle qui fait l'objet de n° 2.

Deuxième cas

Le système (R) périt par formation de barres plastifiées dont certaines ou toutes sont autres que celles du système (NR), par exemple par la plastification des barres 1, 2', 3', ...

Dans ce cas, considérons le système (NR) et chargeons-le progressivement.

Par hypothèse il périt par plastification des barres 1, 2, 3, ... sous l'action de MP_1, MP_2, MP_3, \dots

C'est dire que sous l'action de $MP_1, MP_2, \dots, N \times N_0$ pour les barres autres que les barres 1, 2, 3, ..., donc pour les barres 1', 2', 3', ...

Bébérons la section des barres 1', 2', 3', ...

Tant que $N_0 > N$, rien n'est changé. Nous pouvons donc défaire les barres 1', 2', 3', ... sans affecter les N existant lors de la ruine (2) pratiquement jusqu'à ce que $N_0 = N$ dans les barres 1', 2', 3', ...

Nous obtenons donc un système déformé (D) résistant aux mêmes charges que le système (NR).

Renforçons les barres 1, 2, 3, ... de la poutre (D), nous obtenons la poutre déformée, renforcée (DR).

D'après le théorème I la poutre (DR) s'effondre sous la même charge que la poutre (D) s'est écroulée sous l'action de MP_1, MP_2, \dots et cela par plastification des barres 1', 2', 3', ...

Mais par hypothèse la poutre (R) s'effondre également par plastification des barres 1', 2', 3', ...

Donc les systèmes (R) et (DR) s'effondrent sous la même mécanisme.

D'après le premier cas ci-dessus le système (R) s'effondre sous l'action des charges MP_1, MP_2, \dots et $R' > R$.

4. Conclusion

Moyennant certaines restrictions, une poutre renforcée en certains endroits supporte une charge au moins égale à une poutre non renforcée.

[4. Coefficient de sécurité

Nous avons vu qu'il ne suffit pas d'examiner le système uniquement lors de la formation du mécanisme transformant le système en mécanisme.

Pour être sûr, nous devrions charger le système progressivement, le calculer par les méthodes classiques jusqu'à l'entrée en plastification de la première barre et nous assurer que dans ce premier stade aucune charge n'est supérieure à N_0 .

(2) Assurez qu'avant la formation du mécanisme il n'est devenu, en N des différentes barres ou tout affecté et dans certaines, il se pourrait que l'on atteigne N_0 .

2. CASER DES BARRES PLASTIFIÉES

Plutôt que de déterminer les barres qui se plastifient dans un système pour lequel nous aurions choisi la section des différentes barres, choisissons convenablement à l'avance les barres que nous devrions soit plastifier⁽¹⁾ pour transformer le système en un mécanisme partiel ou total. Dès lors la condition a) est réalisée.

Déterminons-nous les rapports γ des efforts N_i dans ces barres.

Déterminons la valeur de N_0 de façon que sous l'action de SP_1, SP_2, SP_3, \dots et des efforts N_0 , le système soit en équilibre indifférent.

Dès lors la condition b) de ruine est vérifiée puisque dans les barres assignées il s'y agit effectivement N_i et que le système ainsi formé est en équilibre indifférent.

Sous l'action des charges SP_1, SP_2, \dots et des efforts N_0 faisons des équilibres de Cremona dans les différents trapezes du mécanisme et choisissons le profil des différentes barres de façon que partout $N_i < N_0$ dans les barres étendues⁽²⁾ et $N_i > N_0$ dans les barres comprimées⁽³⁾.

Dès lors la condition c) de ruine est satisfaite.

Par conséquent, lorsque les trois conditions de ruine sont satisfaites, le système s'effondrera par formation de barres plastifiées aux endroits choisis⁽⁴⁾.

3. COMMENT VÉRIFIER SI LES BARRES PLASTIFIÉES CONVIENNENT À L'AVANCE SOUS DES EFFORTS LOUIS EN L'ÉTOUPEMENT

Ayant choisi l'emplacement des barres plastifiées transformant le système en un mécanisme total ou partiel, nous pouvons déterminer l'emplacement des centres instantanés de rotation (absolus et relatifs) des différents trapezes du mécanisme.

Nous devons donner un sens de déplacement tel

(1) La chute doit être possible uniquement sur des barres élastiques. Nous verrons plus loin le moyen par lequel nous pouvons vérifier si ces barres sont réellement élastiques au moment de l'effondrement. Si, après solidification, une de ces barres était comprimée nous devrions en choisir une autre.

(2) Il y a cependant un danger, c'est qu'une barre étendue ou peu comprimée lors de la formation du mécanisme soit comprimée au-delà de la charge critique lors de la mise en charge s'il y a-t-il eu la transformation du système en mécanisme. Nous nous verrons plus loin que nous pouvons éviter ces particularités supplémentaires.

(3) Cette conclusion n'est cependant pas tout-à-fait exacte étant donné qu'en cours de chargement il se peut que qu'une barre ait fléchi. Nous verrons plus loin comment nous pouvons éviter ce danger.

que le travail effectué par les charges extérieures soit positif.

Nous nous donnons un déplacement (petit) dans ce sens et nous pourrions vérifier si les membres étendus des barres plastifiées se sont bien écartés.

Si certains membres s'étaient rapprochés, la barre en question serait comprimée et nous pourrions alors choisir sur une autre barre.

Très souvent, du moins pour des mécanismes simples, il sera inutile de faire une épreuve car le mouvement aura lieu sans.

§ 3. Renforcement du système

1. Mécanisme I

Soit un système non renforcé (NR) s'effondrant par la plastification des barres 1, 2, 3, ... sous l'action de AP_1, AP_2, AP_3, \dots

Renforçons une ou plusieurs barres autres que celles qui forment le mécanisme.

Nous obtenons un système semi-renforcé (SR). Nous allons démontrer que le système (SR) périra sous l'action des mêmes charges AP_1, AP_2, \dots et suivant le même mécanisme que le système (NR)⁽⁵⁾.

En effet, voyons si le système (SR) avec barres plastifiées 1, 2, 3, ... vérifie les trois conditions d'effondrement sous l'action de AP_1, AP_2, AP_3, \dots

a) Comme le système (NR) est devenu un mécanisme avec barres 1, 2, 3, ... plastifiées, le système (SR) avec barres 1, 2, 3, ... plastifiées est également un mécanisme.

La condition a) est donc satisfaite.

b) Comme les N_i dans les barres plastifiées du système (SR) sont les mêmes que ceux du système (NR), le système (SR) sera en équilibre indifférent sous l'action des charges AP_1, AP_2, \dots

Par conséquent sous l'action de AP_1, AP_2, \dots il se produit effectivement la plastification des barres 1, 2, 3, ... et le système (SR) est en équilibre indifférent.

La condition b) est donc satisfaite.

c) Comme pour les barres autres que celles qui forment le mécanisme sous les charges AP_1, AP_2, \dots N est inférieur à $(N_0)_{max}$ (efforts plastiques du système non renforcé), N sera à fortiori inférieur à $(N_0)_{max}$. Donc, pour le système (SR), la condition c) est satisfaite.

Donc les trois conditions sont satisfaites et le ruine du système (SR) se produira sous l'action des mêmes charges et suivant le même mécanisme

(5) Nous verrons cependant plus loin qu'il y a une exception à cette affirmation.

Calculer le nouveau système hyperstatique jusqu'à la plastification de la seconde barre et vérifier le nouveau N est inférieur à N_0 dans une barre quelconque et ainsi de suite⁽¹⁾.

Ce calcul serait très long et fastidieux en pratique.

Avant suggérons-nous de calculer le système lors de la ruine par formation d'un mécanisme et d'augmenter certains coefficients de sécurité pour réduire le danger de flambement avant la formation du mécanisme.

Comme nous voulons que le système puisse suivre le mécanisme que nous avons choisi soit α prend, soit à la limite d'un calcul préalable et qu'il y ait peu de danger qu'il y ait une autre cause de ruine, nous adopterons pour les barres du mécanisme le coefficient de sécurité normal $S = 1,35$ ⁽²⁾.

En d'autres mots, ayant choisi convenablement les barres d'inflexion devant former le mécanisme nous calculons les sections de celles-ci de façon que sous l'action de SP_1, SP_2, \dots et des efforts N_0 le système soit en équilibre instable.

Sous l'action de SP_1, SP_2, \dots et des N_0 nous calculons les efforts dans les éléments traverses.

Comme nous savons qu'au cours du chargement certains efforts de traction pourraient être supérieurs aux efforts calculés et pourraient atteindre N_0 qui produirait un allongement de certaines barres et qui perturberait la distribution des efforts tant que le système n'est pas instable; comme nous savons d'autre part que certains efforts de compression pourraient atteindre N_0 avant la formation du mécanisme, nous limiterons les efforts des barres des différents traverses comme suit :

$$N \leq N_0 \frac{S_1}{S_2} \text{ pour une barre tendue}$$

$$N \leq N_0 \frac{S_1}{S_2} \text{ pour une barre comprimée.}$$

Dans ces formules :

$$S_1 = 1,35;$$

S_2 : nous suggérons $S_2 = 1,7$ pour parer aux imperfections du calcul⁽³⁾;

S = coefficient de sécurité correspondant à α_0 , ce coefficient devrait cependant être supérieur à

(1) Il faudrait même vérifier si la première barre entre en plastification ne réagit pas dans ce second stade un effort de compression.

(2) Il n'y a pas lieu de prendre 1,7 comme pour le calcul des poutres à deux plans puisque en principe aucun élément n'est fléchi.

1,7 pour parer aux imperfections du calcul⁽³⁾.

Nous d'autre part que par mesure de prudence α_0 sera calculé en faisant usage de E et non de E_0 .

§ 3. Conclusions

1. De par les considérations développées ci-dessus, nous constatons que le calcul plastique des poutres ou treillis offre certains dangers. De plus, comme une poutre ou treillis est une poutre qui en général se rapproche plus ou moins d'une poutre d'égal résistance, le gain de poids résultant d'un calcul élasto-plastique n'est pas très élevé.

D'autre part, une poutre ou treillis n'est pas parfaitement plane de sorte que tout calcul est assez théorique.

Enfin rappelons que les tensions secondaires ne sont pas négligeables et du fait que nous n'en tenons pas compte nous expliquons déjà la plasticité.

Tout cela pour être qu'il ne faut pas escompter réaliser un gain de poids en faisant un calcul à l'élastiquement.

Cependant, comme en définitive, un tel calcul est plus simple qu'un calcul de système hyperstatique, nous considérons que ce calcul peut être fait pour déterminer les sections à mettre en œuvre.

Éventuellement, au moyen des sections ainsi calculées, nous pourrions vérifier par un calcul élastique, si celles-ci sont suffisantes.

2. Nous avons vu dans la théorie générale qu'en lieu de choisir l'emplacement de rotules plastiques il était parfois avantageux de choisir l'emplacement de rotules ordinaires transformant le système en un système instatique.

Dans le cas de poutres ou treillis, rien n'est plus simple que de réaliser effectivement un système instatique (ou spécialement certaines barres).

En choisissant ainsi convenablement l'emplacement des rotules, nous pourrions réaliser une construction économique et nous ne craignons pas le flaque que sous charges de sécurité certaines barres soient comprimées alors que sous charges d'effondrement elles sont tendues.

Le système est en effet instatique et pratiquement élastique jusqu'à la ruine.

(3) Il est évident que cette suggestion de coefficient de sécurité ne doit pas être faite dans le cas où on est certain que lors du chargement aucune de ces barres n'atteint N_0 ou N_m .

Faisons remarquer que les ordonnées de y supportées à ces repères sont beaucoup plus petites que celles qui sont supportées à xy (a et c est à dire aux ordonnées de l'élastique du système hyperstatique sous l'action de la même charge SP).

En d'autres termes, juste avant la ruine, le poutre prismatique avec rotules en k et en l , se déforme beaucoup moins qu'un même poutre prismatique sans rotules ordinaires et cela sous la même charge SP .

Il serait donc erroné de penser qu'en déplaçant un système en certains endroits (ou l'occurrence ou l'absence des rotules en k et en l), la déformation sous la même charge ou est exprimée même si la charge d'effondrement est la même.

Ceci n'est pas toujours vrai dès qu'il se produit une ou plusieurs rotules plastiques dans le système hyperstatique. (Notons que dans le domaine élastique c'est vrai comme nous allons le démontrer plus loin.)

Etant donné que ce phénomène est surprenant à première vue, nous tentons à le faire sentir un peu.

Dans le système hyperstatique (non déformé), juste avant l'effondrement M a atteint une très haute valeur au droit des rotules plastiques ($M = M_p$) et à cause de cela la valeur de E_{max} est très petite en ces sections-là et aux environs de ces sections.

En d'autres termes, dans les sections dans lesquelles M est le plus élevé, E_{max} est petit dans la déformabilité est grande et aux endroits où M est à peu près nul la section est superflue.

Dans le système isostatique qui peut être considéré comme étant le poutre prismatique déformée au droit des rotules ordinaires, M n'atteint pas M_p dans les sections les plus sollicitées (soit au moment même de l'effondrement), donc E de ces sections est resté constant (ou a légèrement diminué lorsque M atteint à peu près la valeur qui produit la limite élastique dans quelques fibres).

Par conséquent dans ces régions-là, le poutre n'est pas très déformable.

D'autre part, au droit des rotules M est nul et E est petit aux environs des rotules.

En un mot, dans le système isostatique M est beaucoup mieux réparti que dans le système hyperstatique et de ce fait la déformation est plus faible (1).

Nous pourrions d'ailleurs donner une démonstration approximative. (Notons qu'une démonstration exacte ne pourrait pas être faite car cette propriété n'est pas toujours vérifiée et tout dépend du genre de construction.)

Considérons un système S_1 à trois hyperstatique d'une part et un système S_2 dérivant du système S_1 avec un rotule et tel que l'effondrement se produise sous l'action des mêmes charges SP .

Considérons le système S_1 et faisons croître les charges SP progressivement de zéro à leur valeur finale (juste avant la formation de la rotule plastique qui provoque l'effondrement).

Le système est devenu successivement $n-1$ fois puis $n-2$ fois... hyperstatique.

Comme le système est chargé progressivement et est composé de parties élastiques, le travail des charges SP est $\frac{1}{2} \sum k P y - E (1)$.

- Le travail interne est composé de :
- le travail produit par les rotules plastiques. Il est $M_{k,1} \theta_1 + M_{k,2} \theta_2 + \dots$ (travail absorbé donc négatif);
 - le travail élastique entre les rotules $W_{e,12}$ (travail absorbé donc négatif).

Le principe de conservation de l'énergie donne :

$$\frac{1}{2} \sum k P y - E + \sum M_{k,i} \theta_i + W_{e,12} = 0.$$

Considérons maintenant le système S_2 et faisons croître les charges SP progressivement de zéro à leur valeur finale. Comme le système est élastique :

$$\frac{1}{2} \sum k P y' + W_{e,12} = 0.$$

Or comme les termes $M_{k,i} \theta_i$ sont grands (ou valeur absolue), on a sensiblement

$$E + (\sum M_{k,i} \theta_i + W_{e,12}) \approx (\sum W_{e,12}).$$

$$\text{Donc : } \frac{1}{2} \sum k P y \approx \frac{1}{2} \sum k P y'.$$

Donc, si toutes les forces qui font du travail sont dans la même zone (par exemple de bas en bas)

$$y_{max} \approx y'_{max}.$$

Chapitre IX. Étude comparative d'un système hyperstatique et d'un système isostatique ayant les mêmes charges d'effondrement

1. Introduction

Nous avons vu qu'il était aisé de comparer un système hyperstatique par un système isostatique ayant la même charge d'effondrement. On pourrait

(1) Ceci n'est évidemment vrai que sous une charge SP telle que dans le système hyperstatique il y ait produit une ou plusieurs rotules plastiques. Nous verrons plus loin que si SP n'a pas atteint cette valeur, c'est le système isostatique qui est le plus déformable.

(2) Le travail d'une force est la surface sous-tendue (1440) (Fig. 39) qui est indifférente à celle sous-tendue par la droite OC , dans l'adhérence à P et P' .

4. Exemple

Soit une poutre encastée aux deux bouts, chargée de SP au tiers de sa longueur.

Déterminer la déformation maximum.

Comme, lors de l'effondrement les rotules plastiques se sont produites en A , B et C , nous considérons le diagramme des M (fig. 13).

Par intégration nous déterminons les courbes δ et γ .

Déformation des rotules (fig. 13)

Comme rep \bar{M} est horizontal, rep δ sera une ou deux horizontales et rep γ sera une ou deux obliques.

Premier cas : La dernière rotule se produit en C .

Avant la formation de cette rotule, AB est une poutre articulée en A et en B , donc rep δ , est la droite A_1B_1 . Par dérivation rep δ , est $A_1^*B_1^*$. (Nous supposons que A_1 et A_2 sont différents de zéro.)

(*) Il y a lieu de valider un système isostatique où toutes les rotules plastiques se comportent comme rotules ordinaires.

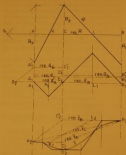


FIG. 13

Deuxième cas : La dernière rotule est en A .

Avant la formation de cette rotule, AB est encastée en A donc $\alpha_A = 0$.

Donc rep δ_A passe par A_1 et est horizontal.

Par intégration nous trouvons $A_1C_1^*$.

Comme rep δ_B doit passer par B_2 nous trouvons $C_1^*B_2$ d'où par dérivation $C_1^*B_1^*$.

Le mot $C_1^*C_1^*$ donne l'angle que forme la poutre en C .

Troisième cas : La dernière rotule est en B .

Avant la formation de cette rotule, AB est encastée en B donc $\alpha_B = 0$.

Donc rep δ_B passe par B et est horizontal.

Par intégration nous trouvons que rep δ_A est $C_1^*B_1$, d'où $A_1C_1^*$ d'où par dérivation $A_1^*C_1^*$.

Les ordonnées les plus grandes pour γ sont celles qui se produisent avec rep δ_B c'est-à-dire en supposant que la dernière rotule se produit en B .

Faisons remarquer que la dernière rotule qui se forme réellement est la rotule en B , ce qui confirme ce que nous avons écrit.

5. Remarque

Reprenons la poutre de n° 4 encastée aux deux bouts. Transformons-la en un système isostatique en mettant des rotules ordinaires en K et en L (fig. 14) c'est-à-dire là où $M = 0$ lors de l'effondrement.

Ce système isostatique s'effondre exactement sous la même charge SP que le système hyperstatique. Quelle est sa déformation juste avant l'effondrement?

En faisant croître KP de zéro à sa valeur finale SP , la ligne des M (qui dans ce cas est indépendante de la déformation puisque le système est isostatique) reste toujours semblable à elle-même et le système est élastique jusqu'à ce que KP atteigne la valeur SP .

A ce moment-là il se forme simultanément en A , B et C des rotules plastiques qui rendent le système incomplet.

Par conséquent, tant que KP n'a pas atteint la valeur SP , γ est donnée par $A_1C_1^*B_1$ (fig. 14) et comme la poutre est encastée en A et en B et a un creux en K et en L , le repère des δ est constitué d'une horizontale A_1L_1 , d'une horizontale B_1L_1 , et d'une horizontale inclinée pour le moment.

D'autre part, rep γ est par conséquent constitué de trois droites (puisque c'est l'intégrale de trois horizontales). La première A_1B_1 (horizontale), la troisième B_1L_1 (horizontale) et la deuxième B_1K_1 .

ependant d'autres moyens pour passer à cette déformabilité.

4. Déformation d'un système hyperstatique dans le domaine élastique

Nous allons démontrer que sous charges $\mathbb{P}y$ telles que le système n'atteigne nulle part la limite plastique, le système hyperstatique se déforme moins que le système isostatique devant la même charge d'affaissement lorsque les réactions considérées comme isostatiques dans le système hyperstatique se font pas de travail.

En effet, dans le système hyperstatique, nous pouvons toujours considérer le moment intérieur M_0 en une section donnée comme moment hyperstatique (voir tome III de notre ouvrage *Stabilité des constructions*).

Le théorème de Meusnier donne : $\int \frac{\partial M_0}{\partial M_0} = 0$ prouve que les réactions isostatiques ne font pas pas de travail (voir *Stabilité des constructions*, t. III).

De plus, ce théorème dit que $|M_0|$ passe par un minimum lorsque $M = M_0$ dans cette section.

Cela veut dire en d'autres termes que si dans la section P nous nous donnons une autre valeur M'_0 (quelqu'une au lieu de M_0 et si au moyen de M'_0 nous déterminons la ligne des M dans le système, M_0 serait supérieur à M_0 calculé au moyen des M résultant de $M = M_0$ dans la section P .

Or, comme en transformant un système hyperstatique en un système isostatique en mettant des rotules et en gardant partout ailleurs les mêmes sections, cela revient à nous imposer $M_0 = 0$ alors que M_0 serait différent de zéro ⁽¹⁾, $|M_0| > |M_0|$.

Or, le principe de conservation de l'énergie appliqué au système isostatique chargé progressivement donne : $\int \mathbb{P}y' + \mathbb{W}_0 = 0$

(\mathbb{W}_0 est du travail absorbé dans les rotules).

Pour le système hyperstatique, ce principe donne :

$$\int \mathbb{P}y + \mathbb{W}_0 = 0.$$



Fig. 20.

(1) M_0 est nul lors de l'affaissement mais n'est pas nul dans le premier stade d'affaissement sous l'action de charges qui n'ont pas encore créé de rotules plastiques.

(2) Si A et B ne sont pas de niveau, nous faisons tourner dans et les forces résultantes de façon à ce que A et B soient sur une horizontale.



Fig. 21.

$$\int \mathbb{P}y' > \int \mathbb{P}y$$

et si toutes les forces qui font du travail sont de même signe :

$$\int'_{\text{max}} > \int_{\text{max}}$$

Donc, en période élastique, le système isostatique est plus déformable que le système hyperstatique.

Chapitre X. Arc à deux rotules de poids minimum

§ 1. Introduction

De ce qui précède on pourrait calculer un arc à deux rotules à l'affaissement en choisissant convenablement l'emplacement de la rotule ordinaire supplémentaire mesurant l'arc à deux rotules en un arc à trois rotules.

Le but est de déterminer facilement l'emplacement à donner à la troisième rotule pour que la construction soit la plus légère possible.

§ 2. Calcul de l'arc à trois rotules

Un moyen facile et direct très ingénieux pour calculer un arc à trois rotules est le suivant :

Soit (fig. 20) un arc à trois rotules ayant les appuis A et B de niveau ⁽²⁾.

Par la statique nous pouvons déterminer R_A , Q_A , M_A et Q_B . Par exemple, en dérivant une équation de moment autour de B, nous déterminons R_A ; en dérivant une équation de moment autour de A, nous déterminons R_B ; en isolant AC nous devons introduire en C, T et N et en dérivant une équation de moment autour de C de toutes les forces situées sur AC nous déterminons Q_A ; enfin, en reportant l'arc ACB et en dérivant une équation de projection sur l'horizontale, nous trouvons Q_B .

Ayant ces réactions, nous pouvons déterminer M dans une section quelconque et nousignons qu'évidemment $M_0 = 0$.

Considérons d'autre part le pontre courbe ACB à deux rotules (en A et en B) avec chariot à élève glissant horizontal en B (fig. 21) sollicité par

se demander si on bien de calculer le système hyperstatique par les théories élasto-plastiques c'est-à-dire en mettant des rotules idéales aux endroits convenablement choisis de façon à rendre le système isostatique, en calculant le système dans ce cas-là, puis en considérant le système au droit des rotules. Il n'est pas plus indiqué de concevoir le système avec rotules idéales et ne pas renforcer les sections.

Aussi donnons-nous ci-après les avantages du système isostatique et ceux du système hyperstatique.

Nous ne concluons que suivant le genre de constructions, on prendra l'une ou l'autre solution. On pourra même prendre une solution mixte.

2. Avantages du système isostatique

a) Le calcul est très simple.

b) Puisque le système est isostatique, nous connaissons la ligne des M non seulement lors de l'effondrement mais également sous charge de sécurité.

Par conséquent, sous cette charge, nous pouvons déterminer les tensions, ce qui malgré tout offre un avantage.

c) Lorsqu'on fait croître les charges SP de séro à leur valeur limite SP , les tensions croissent proportionnellement et un dénivelé étendu reste toujours étendu, ce qui est un réel avantage surtout pour des ponts en treillis.

d) Sous charges approchant plus ou moins de la charge d'effondrement la construction est généralement moins déformable que le système hyperstatique.

Par conséquent, alors que souvent pour le système hyperstatique la charge limite est conditionnée par la limitation de la déformation, dans le système isostatique cela pourrait ne pas être le cas.

De plus, même sous charges bien inférieures aux charges d'effondrement, le système isostatique est parfois moins déformable que le système hyperstatique.

Nous verrons cependant plus loin que sous charges telles que le système hyperstatique travaille en période élastique, le système isostatique est plus déformable que le système hyperstatique, ce qui est un inconvénient.

e) Effort en T et en N

Dans le système hyperstatique N et T dominent le moment plastique et par conséquent la charge d'effondrement et par voie de conséquence la charge de sécurité.

Dans le système isostatique, T n'a en général

aucune incidence sur le dimensionnement et l'effet de N est calculé indépendamment.

f) Flambement

Comme dans le système isostatique soumis à flexion et à compression le flambement dans le plan du système joue un rôle secondaire, il est généralement négligé que pour le système hyperstatique puisque'il est moins déformable que ce dernier.

Quant au flambement dans le plan perpendiculaire à la poutre ou quant au flambement spatial, il est aussi moins à craindre pour le système isostatique que pour le système hyperstatique.

En effet, pour ce dernier, là où il est grand, il est très petit puisque la matière est soit entrée en plasticité, soit sur le point d'y entrer.

Pour le système isostatique, les rotules pourraient être des poutres faibles.

Néanmoins cependant qu'il suffit de réaliser des rotules permettant seulement la rotation dans le plan de la poutre.

Les assemblages des différents tronçons pourront se faire rigidement et très simplement dans le plan perpendiculaire à la construction de façon à éviter le flambement d'ensemble perpendiculairement au plan de la construction ou pour éviter le flambement spatial.

g) Le poids de la construction isostatique ne sera pas supérieur à celui du système hyperstatique.

A) le prix de la main-d'œuvre de fabrication du système isostatique pourra, dans beaucoup de cas, ne pas être supérieur à celui du système hyperstatique et dans certains cas, pourra même être inférieur.

i) Lorsqu'on plus des charges permanentes il y a des charges mobiles, l'étude du système isostatique est plus aisé que celle du système hyperstatique calculé par les méthodes élasto-plastiques.

j) La construction peut être faite en un matériau non ductile tel que le béton puisque'il ne doit pas y avoir formation de rotules plastiques.

3. Avantages du système hyperstatique

a) Parfois il est plus économique de prévoir une poutre prismatique d'une seule pièce qu'une poutre qui en aurait composé au droit de la rotule.

b) Souvent, sous charge de sécurité la déformation est plus faible que celle du système isostatique. Ainsi si c'est cette déformation-là qui est déterminante il sera peut-être plus avantageux de ne pas concevoir le système isostatique. Il y a



Fig. 22

les mêmes charges P_1 et P_2 et par la charge horizontale Q_3 en B.

Les équations de statique montrent que P_1 , P_2 et Q_3 auront les mêmes valeurs que pour l'arc de la figure 20. Par conséquent, on une section quelconque, M, N, T auront les mêmes valeurs que pour l'arc de la figure 20. En C notamment nous aurons $M_C = 0$.

Par conséquent, nous pouvons calculer M, N, T dans une section de l'arc à trois rotules en calculant ces éléments pour la poutre courbe (fig. 21).

De l'arc (fig. 21) peut être considéré comme étant la superposition des arcs (fig. 22 et 23) tels que $Q_1 + Q_2 = Q_3$.

De l'arc (fig. 22) est une poutre courbe appuyée sur deux bouts. Nous pouvons facilement calculer P_1 , Q_1 et P_2 . La ligne des M_x se détermine facilement, par exemple si la charge est verticale et uniformément répartie suivant l'horizontale, M_x est une parabole du second degré et $M_{x_{max}} = -\frac{P_1^2}{8}$.

D'autre part, pour l'arc (fig. 23), $M_x = Q_2(y)$.

Dans cette ligne, chargée de signe, peut être représentée par l'arc lui-même.

Par conséquent la ligne des M (en fonction de x) de l'arc à trois rotules (fig. 20) peut être déterminée par la ligne M_x de la poutre (fig. 22) rapportée à l'axe (après deux axes comme séparés).

Or, comme en C, il faut que $M = 0$, la courbe M_x doit couper l'axe en C, ce qui donne d'ailleurs la valeur de Q_2 .

Par conséquent, voici comment on opérerait graphiquement. Dessinez l'arc à une échelle λ_x (en abscisses) et λ_y (en ordonnées) (*).

Comme la courbe M_x doit passer par l'articulation C et que nous connaissons les valeurs de M_A et notamment $M_{A,C}$, nous en déduisons :

$$M_A = \frac{M_{A,C} c}{M_{A,C}}$$

Nous pouvons évidemment calculer Q_2 et N, M, P et c dans une section quelconque.

(*) Nous aurons intérêt, pour obtenir une bonne précision, que $\lambda_x > \lambda_y$.



Fig. 23

§ 3. Calcul à l'effondrement d'un arc à deux rotules

Le calcul de cet arc revient au calcul d'un arc à trois rotules dont il y a lieu de déterminer l'emplacement le plus défavorable de la rotule ordinaire C.

A cet effet, sous les charges relatives données, nous pourrions cal-

culer la poutre courbe à deux rotules (en A et en B), la rotule B étant sur un chariot à libre dilatation horizontal.



Fig. 24

Nous choisissons, en fait, un emplacement Q_3 pour la rotule ordinaire C (fig. 24) et nous dessinons la courbe M_x qui, rapportée à l'axe, représente la courbe M de l'arc à trois rotules.

Nous calculons σ_{max} positif et σ_{max} négatif et si ces deux valeurs sont différentes on valeur absolue nous nous donnons un autre emplacement Q_3 pour la rotule (fig. 24). Nous dessinons une nouvelle courbe M_x (semblable à la première) passant par Q_3 .

Nous recommençons l'opération jusqu'à obtenir à peu près l'égalité des valeurs absolues des σ_{max} .

Nous obtenons ainsi l'emplacement idéal de la rotule et nous pouvons déterminer le profil principal.

A ce moment nous avons le choix soit de mettre effectivement une rotule, soit de la supprimer avec les serrages et les inconvénients inhérents à chaque solution. Notons que comme dans un arc à trois rotules, il est relativement grand vis-à-vis de M il y a lieu d'en tenir compte dans un calcul fléxo-plastique (c'est-à-dire si on suppose la rotule en C).

Nous de plus que sous charges d'effondrement la déformation de l'arc à deux rotules est généralement plus grande que celle d'un arc à trois rotules et qu'en fait on devrait calculer l'arc après déformation et non avant déformation de celui-ci car cette déformation peut entraîner une modification importante des valeurs de M .

Ainsi, en tenant compte de ces considérations, nous pensons que l'arc à trois rotules, conçu avec la rotule C à un emplacement défavorable, donne une meilleure sécurité que l'arc à deux rotules.

De plus, comme très souvent cet arc ne peut pas être d'une seule pièce, il est indiqué de faire en C un assemblage économique.

Il y a lieu évidemment de tenir compte de l'effet du flambement (voir notre ouvrage *Flambement des arcs, abutments et ponts*).

W. K.



Fixation permanente des dalles à l'aide de colles au NEOPRENE

Les dalles de sol, les dalles de chaînes et en fait, toutes sortes de dalles, sont rapidement fixées de façon permanente, à l'aide d'adhésifs à base de NEOPRENE DU PONT. Les assemblages effectués à l'aide de colles à base de NEOPRENE présentent une résistance élevée aux effets de l'humidité, de la chaleur, de l'huile, des graisses et de nombreux produits chimiques. De plus, ces

adhésifs possèdent une certaine flexibilité et une résistance accrue aux dégâts causés par des impacts et des chocs. Les colles au NEOPRENE peuvent être composées de manière à répondre aux exigences les plus diverses. Il existe des types convenant pour l'application à la brosse, au rouleau et au pistolet. Pour plus de renseignements, retournez, complétez le bon ci-dessous.

A FAIT SES PREUVES DEPUIS 1932



NEOPRENE

marque de fab.

De meilleurs produits pour plus de bien-être ...

grâce à la chimie

ATTRACO S.A. 26 rue Royale, Bruxelles 2, Tél: 53.00.00
 Veuillez retourner des renseignements complémentaires ou tout
 des colles à base de NEOPRENE ainsi qu'une liste de fournisseurs.

NOM

FONCTION

PROF.

ADRESSE DE LA FIRME

Service des Expans. 4/7
 1968 02 04800



G.C.120 = PUISSANCE



Bibliographie

(suite)

par exemple les valeurs des effets induites pour une valeur unitaire du coefficient de flexion.

Five am et bending (La construction des tunnels), par K. TAKEDA. Edité par National Road, Nagoya 7, Aikouryû-sha B. 720 p., cartonné, 800 fig., 17 x 28 cm, 1981 (japonais) - 800,00.

Cet ouvrage traite au détail des aspects et besoins de tunnels. Il expose d'abord l'état actuel des techniques de construction de tunnels et propose une classification de ces ouvrages en fonction de leur aspect et de leur destination. Il souligne l'importance des études et sondages géologiques préliminaires (sédiments, points d'aquifères, pluies, conditions hydrogéologiques et tétraoniques, présence de gaz, etc.) et présente des données sur les possibilités des tunnels en cas de séisme à ce sujet, les relations des effets et des déformations et les instruments de mesure. Un chapitre est consacré au développement et au rôle des différents types de revêtement des tunnels, une dernière partie traite des méthodes d'approfondissement des tunnels et des possibilités de tunnel géologique qui par

des méthodes modernes (sondage simple et l'analyse des supports et de la stabilité) sont des revêtements simples par la technique des revêtements. Des exemples numériques illustrent leurs applications. Dans un chapitre spécial, il est traité du rôle chimique géologique et de la topographie des tunnels. Vous voulez le chapitre le plus étendu de l'ouvrage, où sont cités les techniques de construction au tunnel et d'approfondissement au galva (tunnel d'échange, tubes, canaux, boucliers), les supports latéraux, les études de stabilité, les problèmes divers types de revêtement, les méthodes d'approfondissement de l'eau souterraine, les techniques de cimentation et de ventilation, etc. L'ouvrage s'achève par un chapitre qui parle sur les formes d'extension, de réparation et de reconstruction dans les tunnels.

A. B.

Five years' work on the «Belgium Publications» (Des relations bilatérales au sein du réseau de l'Europe) par Ch. DE WA, Directeur des Cours de l'Institut Polytechnique Supérieur de Belgique. Edité par Institut Coopératif C.L.B., Bruxelles. Broché, 14 x 28 cm, 400 pages. Prix : 400 F.B.

L'expression «Belgium Publications» et le programme éditorial d'activités qu'elle implique, recourent une responsabilité européenne en Europe et surtout en Belgique, de plus en plus, dans toutes les sphères.

Toutes les entreprises privées, notamment les petites, doivent nécessairement avoir un réseau avec «Belgium Publications» dans un réseau plus ou moins complexe. Les «Belgium Publications» peuvent constituer une certaine garantie pour toutes les entreprises européennes de garantir un bon développement de ce réseau dans le monde entier. Avec l'«Institut pour l'Europe», les idées et les faits.

Il faut noter, il est prouvé que la seule responsabilité des «Belgium Publications» est de contribuer largement à l'élaboration des relations bilatérales au sein et autour de l'Europe, tout en lui apportant un bénéfice, et de contribuer à créer finalement un marché élargi dans l'économie nationale et à établir dans les communautés, indépendamment des entreprises publiques à l'heure pour contribuer au développement de ce qui est un impact.

L'ouvrage a été écrit en français qu'il devrait être indispensable de présenter une étude approfondie de cette activité avec «Belgium Publications» dans l'ensemble des entreprises européennes.

Grâce à une efficace méthode analytique et à une étude simple et claire, Ch. DE WA distingue minutieusement les motifs et le rôle économique incontournable pour qu'importe. Par le matériel présenté à de multiples exemples et un contenu, nous pouvons noter dans l'ordre les faits des Belges belges, l'Europe éditoriale, en outre, que ce livre apporte sur des bases solides et précises.

S.A. des Etablissements GAROT ET BURTON

AC 1882 1842 - C.C.P. 1833

Tous les matériaux de construction

Bureaux :
LÈGE : 17, rue Forgeur
BRUXELLES : 1, place Louise
GAND : Auroville 34
GENÈVE : S. J. Noyon,
avenue de la Gare, Tongres
MOONEN,
ANVERS : Kappelstraat 46, Diapontbeek

Téléphone :
04/22 39 76 (5 lignes)
03/22 67 40 (2 lignes)
09/22 93 11
011/318 39
011/142 38

ANDE PELLE POUR DE GRANDS CHANTIERS



Une D. C. 500 équipée en pelle travaille en dessous du niveau zéro, dans le fond de la tranchée créée au pied de Jambart. La pelle les échafaudages DUBOUCHÉ qui soutiennent les travaux d'entretien pour protéger la tranchée. Le sol est très dur et exige de la machine une grande force motrice.



Equilibré en charge, l'excavateur D. C. 500 des Entreprises MALOYET travaille au grand écartement de l'abattoir de la nouvelle Université de Liège.

Poclair EN BELGIQUE

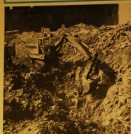


Les Charbonniers du Service à Grande échelle utilisent la D. C. 500 équipée en pelle à griffe pour démolir des wagons de charbon au Fer de France. L'opération est très délicate dans ce secteur. Les agents doivent être particulièrement vigilants pour ne pas dépasser les limites de production de poussière autorisées et les risques de chute de débris.

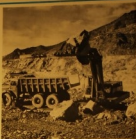


Montage d'un camion pneumatique en 20 tonnes. La manipulation des matériaux est réalisée entièrement avec une grande force de pression et permet ainsi le travail en plein air, sans que le transporteur soit obligé de passer par le tunnel. L'opération est réalisée en production avec l'excavateur. Les machines Poclair ont été spécialement conçues pour ce genre de travaux.

DES IMAGES QUI PARLENT UNE



Sur site de et capable de travailler en hauteur, le G.C. 120 travaille sur un chantier de grande envergure de 100/70. Les 2200 kg. de G.C. 120 travaillent en site 24/24, réalisant le travail plus efficace d'une autre machine de chantier.

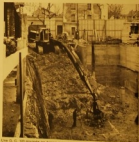


Le G.C. 120 travaille en charge 100%. Sans arrêt, chargé des camions de 10000 kg jusqu'à 100000 kg, le G.C. 120 travaille. La puissance et le poids de cet équipement, grâce à la puissance hydraulique de cette machine, est adapté des performances remarquables.

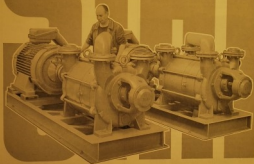
VOICI LES **G.C.120**



L'excavateur à chenilles G.C. 120 travaille en site et en charge. Mécaniquement adapté aux travaux en hauteur, il réalise 2 niveaux dans le développement de gros travaux de chantier. Le G.C. 120 travaille en site 24/24, réalisant le travail plus efficace d'une autre machine de chantier.



Le G.C. 120 travaille en site (travaux en hauteur). La puissance et le poids de cet équipement, grâce à la puissance hydraulique de cette machine, est adapté des performances remarquables.



Qualité
Rendement
Service

Etudes et documentation relatives
à chaque problème, sur demande à

POMPES

Sihi

65-67, rue des Fabriques - Bruxelles 1
Téléphone : 12.00.79 (4 lignes)

les problèmes les plus ardues résolus

SUCCÈS 100^o/o

s'il est fait usage de

coffrages glissants

systèmes

« **SIEMCRETE** » - **IN-**
PROCÉDÉ SIEMENS

- Verins hydrauliques
- Deux plates-formes d'extrusion
- Ferrailage facilité par une position de travail normale
- Coffrages métalliques

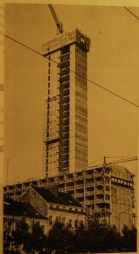
Gain de temps considérable

HÔTEL HILTON à Bruxelles
Hauteur totale 93,75 m

**produits
métallurgiques
ACIERS - MÉTAUX**

CASSART

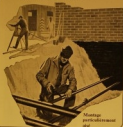
BRUXELLES - LIÈGE - CHARLEROI - GEMBLOUX



Pour une protection parfaite et durable contre la corrosion...
et pour du travail propre!

Essayez, vous aussi,
COROTHENE® et COROPLAST®
si vous ne l'avez pas encore fait

Travaux plus vite, plus proprement, plus facilement,
ce qui signifie une importante réduction de frais
dans le domaine du placement et de la technique
des installations de toutes époques.



Montage
particulièrement
rapide

Ce matériau est résistant et **imperméable** à un poids fort
adhésif, possède un pouvoir adhésif élevé
et est particulièrement pratique à utiliser,
plus de 10 fois d'axe, plus de 10 fois et plus de plus,
même pas sur des irrégularités.

COROTHENE (PE) pour tous genres de protection
contre la corrosion et pour la technique d'isolation.

En tout grand format.
Même quand il fait très froid,
Corothene s'applique facilement.

COROPLAST (PVC) pour le recouvrement des tuyauteries,
en 11 couleurs différentes
pour distinguer les tuyauteries.

Recommandé et spécialement adapté sur demande à

ARFA S.P.A. S.R.L. 21, rue P. V. Jorda, BRUXELLES 2
RÉAGISSANT EN BELGIQUE 20

Coroplast

"COROPLAST" FRITZ MÖLLER KG

© Registered Trade Mark

P. & T. Clabeck Frères

PETITE MÉCANIQUE
DÉCOLLETAGE
PARACHÈVEMENT
TRAVAUX EN ACIER INOXYDABLE
BOULONNERIE DE PRÉCISION
ACIERS ALLIÉS
INOX
ETC.

69, rue Grande-Foehalle, HERSTAL
(près de la gare)

TÉLÉPHONE : 64.18.01

COMPENSATEURS ONDULÉS

en caoutchouc synthétique

type **ERV**



pour absorption des dilatations, vibrations et
bruits dans les tuyauteries rigides

LYMAISON DE STOCK

DESSOY

M. V. DESSOY
Bruxelles 20

ANTWERPEN 2
Tel. 0031 38 78 79 15 (après)



UNE RAISON DE PLUS DE CHOISIR LA 22-RB



Le fameux excavateur universel 22 RB, apprécié partout pour ses qualités de rendement et d'économie, peut maintenant être livré, sur demande, avec des commandes pneumatiques à action progressive, d'une précision et d'une douceur remarquables.

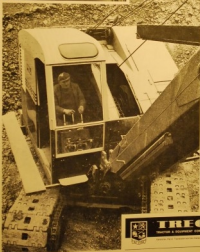


Les 22RB sont livrables avec moteurs à refroidissement par eau et par air, en version standard ou en version ECO (E) — capacité de levage de 15 Tonnes.

Équipements :

- Pelle en tôle
- Pelle rivetée
- Grappin
- Grue à crochet
- Rotoréle
- Pelle rétro

et pelle rétro avec la commande hydraulique du mouvement de charge.



TRECO

TRATTAZIONE E COMPONENTI S.p.A.

10138 TORINO - VIA S. GIUSEPPE 10

TELEFONO 011/77000000

QUALITÀ - SERVIZIO

UNA SCELTA CONVINCENTE
PER IL SUO BUSINESS

TRATTAZIONE E COMPONENTI S.p.A.

VIA S. GIUSEPPE 10 - 10138 TORINO

TELEFONO 011/77000000

TRANSPORTS MARITIMES ET FLUVIAUX
EXPÉDITIONS, MANUTENTIONS
CAMIONNAGES
CONSIGNATIONS DE NAVIRES
RÉCEPTION ET DÉDOUANEMENT
DE TOUT MATÉRIEL ET MATÉRIEAUX
ASSURANCES
ÉCHANTILLONNAGES, ETC.

S. O. M. E. F.

S. A. — SIÈGE SOCIAL : ANVERS

SIÈGE À ANTWERPEN : 181, STALIELEI

Tél. : 03 26.18.70 (12 li) - Télégr. : Somel-Anwerpen
Telex : 344 600 608

SIÈGE À LIÈGE : 9, QUAI DE COCKHOEVE

Tél. : 043 27.19.50 - 27.01.31

Télégr. : Som-Liège

S. P. F. L.

G. Slachmuylders

54, Allée Verte BRUXELLES 1

MATÉRIEAUX DE CONSTRUCTION
TERRASSEMENTS
TRANSPORTS

Câbles en acier

Elingues

Manchons « Talurit »

« LE LIS » Société Anonyme

HARME-SUR-DURME

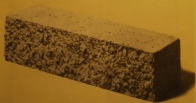
Tél. (042) 483.31 (7 lignes)

Telex : 338 27

Succursale ANVERS:

11-10, QUAI SAINT-MICHEL - TEL. (03) 27 26 54

*il est rare
qu'un matériau
soit à la fois
décoratif,
constructif et
économique*



*comme
celui-ci!*

LES FILLES
LEMAIRE FRÈRES
 17 Avenue de la République
 PARIS 11^e AR. 11 - 11 11 11
 25 Avenue de la République
 LA ROCHE-CEFFREY

J. HUVENNE & C^e GRAVIERS

S.A.
41, chaussée de Malines, ANVERS
Tél. 03/31.12.49 (2 L.)

sièges

BRUXELLES	Quai des Anversois	Tél. 02/7341.00
ANVERS MERS	Kannewaai 228	Tél. 03/20.26.81
ANVERS SUD	Quai Malines	Tél. 03/31.12.22

Exportation

Distribution - Stockage

GRAVIERS - SABLE DE RIVIÈRE
PRODUITS DE CARRIÈRE POUR BÉTON
CIMENT EN VRAIC ET EN SACS
BÉTON PRÉPARÉ
BLOCS YTONS
BRICKS ET AUTRES MATÉRIAUX

ÉTABLISSEMENTS

FRÉRARD

S.P.R.L.

Tél. : 041 83.68.20
C. C. P. 3028.82

111, RUE D'ITALIE, ANS

MÉTAUX PROFILÉS

ACIERS MARCHANDS

TÔLES DE TOUTES ÉPAISSEURS
ET DIMENSIONS



**SOUVENT
IMITÉ
JAMAIS
ÉGALÉ**

CASQUE TYPE CHANTIER

- Poids plume : ca. 290 g
- Sécurité totale :
 - choc amorti au maximum (98 %); résistance très élevée à la rupture et à la perforation suivant les dernières normes ISO;
 - s'est plus sujet au vieillissement et aux changements de température;
 - grand espace libre entre la calotte et la coiffe supra-occipitale;
- Contrôle de qualité permanent par FAI.B.
- Plaque thermique intégrée en relief de votre emblème en couleurs.
- Gouttière et ventilation réglable.

*Catalogue Modelé S-2P
sur simple demande.*

Ets VANDEPUTTE s.a.

180-172, Provinciedoornweg, Beeldek
Tél. 06/51 07 90 (2 L.)



Equipements de Sécurité
Fabrication
et Bureau d'Etude



DIVISION CIMENT

BÉTON PRÉPARÉ

COXWILLÉ S
ASLET
ANTWERPEN
BRUXELLES
BURCHT
CHARLEROI
GENK
GENT
LIEGE
TENSSENDELO
ZANDVLIET
ZELZATE

BÉTON MANUFACTURÉ

ERCOM
Laine à : LIÈGE

produits



BÉTON CELLULAIRE

YFONG
Laine à : BURCHT

CIMENT

cimenteries à :
HARMONIES
LANGERBRUGGE (Genk)
LIÈGE-les-FRÈS
MARCHENNE-les-FONT
OSYONG-les-MONS

S.A. CIMENTERIES C-B-R CEMENTBEORUVEN B.V.

34, Boulevard de Waterloo • Bruxelles 9
Tél. (02) 11.91.40/13.29.30 (B.L.) • Télex Bru. 2.21.464

BOOMSCHIE METAALWERKEN N. V. TRAVAUX MÉTALLIQUES DE BOOM S. A.

Usine de Boom
à Rouen

Usine à Tienen
à Habbema



Excavateurs universels
à chenilles

Excavateurs à godets multiples

Grues de port
et de chantier naval

Grues flottantes

Ponts roulants à crochets
et à grappin

Ponts de toutes puissances
portiques

Appareils spéciaux
de métallurgie :

Ponts de coulée, ponts métalliques,
ponts fits, ponts remorqueurs, etc.

Slipways

Aciers coulés
et pièces métalliques

**constructeurs
architectes
entrepreneurs**

**songez à vos
responsabilités**

Pour couvrir vos risques

- en cours de travaux
- de responsabilité décennale

**PREZ VOTRE
INTERMÉDIAIRE
ou
CONSEILIER**



L'ASSURANCE LIÉGEOISE

Fondée en 1893. Capital et Réserves: près de deux milliards de FB
Recouvrement 1990 : 150.000.000 FB

Vie • Incendie • Accidents

SIÈGES EN BELGIQUE

Lège (Siège social) 39, boulevard d'Anroy
Bruxelles 129, avenue Louise
Gent 24, Hoogstraat
Antwerpen 70, Prinsenveld
Charleroi 8, rue W. Ernst

Tél. : (04) 23.38.80
Tél. : (02) 37.31.95
Tél. : (09) 23.38.51
Tél. : (03) 33.86.15
Tél. : (07) 35.43.54